



Instituto Tecnológico
GeoMinero de España

INVESTIGACION GEOFISICA EN LOS LLANOS DE COME-
YA. PARQUE NACIONAL DE COVADONGA (ASTURIAS).

ABRIL, 1.990



MINISTERIO DE INDUSTRIA Y ENERGIA

40364

INDICE

1. INTRODUCCION.
2. GEOLOGIA DE LA ZONA.
3. REALIZACION DE LA CAMPAÑA.
 - 3.1. Medidas.
 - 3.2. Resultados.
4. CONCLUSIONES.

1. INTRODUCCION.

Durante los primeros meses del año 1988, el Instituto Nacional para la Conservación de la Naturaleza (ICONA) patrocinó y encargó al Instituto de Urbanismo y Ordenación del Territorio de la Universidad de Oviedo (INDUROT) un estudio geológico integral del Parque Nacional de la Montaña de Covadonga, en el que se deberían tratar aspectos muy diversos de la naturaleza física del área objeto del trabajo.

Uno de estos aspectos, en particular, es el conocimiento de la estructura de la depresión de los Llanos de Coméya, tipificada como un poljé, y la naturaleza de los materiales que constituyen su relleno. Para ello, se planteó la conveniencia de llevar a cabo una investigación geofísica que pudiera proporcionar los datos necesarios que complementaran los ya obtenidos por distintos estudios de superficie (cartografía geológica, levantamiento de series estratigráficas, etc.).

Con este motivo se solicitó la colaboración del Instituto Tecnológico GeoMinero de España (I.T.G.E.) que, a través de su Unidad Territorial de Asturias, realizó la

investigación solicitada dado que dispone, en su centro de Oviedo, del equipo humano y técnico necesario para desarrollar la mencionada campaña geofísica, lo que da lugar a la redacción del presente informe.

Aunque la ejecución del trabajo de campo y la interpretación de los resultados se desarrollaron durante los meses de Julio y Septiembre de 1988, toda la información obtenida a partir de esta investigación se incorporó al conjunto de trabajos que se recogen en la redacción de la obra titulada "Geología del Parque Nacional de la Montaña de Covadonga", que el INDURÓT entregó a ICONA en un acto de presentación oficial celebrado en la sede de la Delegación General del Gobierno en Asturias el pasado mes de Febrero. Por ello, la edición del presente informe se retrasó hasta su fecha actual.

Por último, se quiere hacer constar nuestro agradecimiento a ICONA por la colaboración prestada, durante la realización de los trabajos de campo, por algunos miembros de su personal adscrito al Parque de Covadonga, sin cuya intervención no se hubiera podido desarrollar eficazmente esta investigación.

2. GEOLOGIA DE LA ZONA.

Según se expone en la obra "Geología del Parque Nacional de la Montaña de Covadonga" (MARQUINEZ et al., 1990), de donde se ha extraído la información para la redacción de este apartado, las formaciones geológicas presentes en el área de estudio, pertenecientes a la Unidad de Picos de Europa, se dividen en un substrato rocoso formado por rocas sedimentarias paleozoicas, originadas en un medio marino, y un conjunto de depósitos cuaternarios, que recubren dicho substrato, de naturaleza y génesis muy variadas.

En concreto, el poljé de Comeya, la depresión más extensa del Parque, constituye una forma cerrada al S. por fuertes escarpes de calizas esparíticas masivas, que se suavizan hacia el E. y O., y al N. por una ladera más suave, modelada en las cuarcitas ordovícicas de la Formación Barricos. El fondo de la depresión, prácticamente plano, está ocupado por rellenos recientes, bajo los que se supone se sitúan las calizas masivas del Miembro Superior de la Formación Picos de Europa y las brechas calcáreas del Carbonífero Superior que constituyen los relieves que interrumpen, en superficie, la depresión hacia el E.

Las formaciones geológicas que aparecen representadas en el área de estudio, recogidas en el plano nº 1, se incluyen en tres conjuntos bien diferenciados, exceptuando los sedimentos cuaternarios:

- La Serie Cambro-Ordovícica.
- La Serie Devono-Carbonífera.
- Las formaciones clásticas del Carbonífero Superior.

Los dos primeros conjuntos están separados por una laguna estratigráfica que ocupa desde el Ordovícico Inferior hasta el Devónico Superior, mientras que el tercero está constituido por los materiales clásticos sinorogénicos que se presentan discordantes o disconformes sobre el resto de la sucesión.

La Serie Cambro-Ordovícica.

Los materiales de esta Serie, los más antiguos que afloran en el Parque, constituyen el límite N. de los Llanos de Comeya, y constan de cuarcitas y areniscas blancas correspondientes a la Formación Barrios.

La Serie Devono-Carbonífera.

Dentro de esta sucesión, en el área de estudio aparecen representadas:

- La Formación Valdeteja, compuesta por calizas masivas que pasan, de muro a techo, del color gris oscuro al blanco, con frecuentes foraminíferos y otros microfósiles, formada por wackstones y floatstones de bioclastos y pelloídes.

- El Miembro Superior, masivo, de la Formación Picos de Europa, potente sucesión de calizas masivas esparíticas de colores claros, crema y blanco, con intercalaciones de calizas rosadas encriníticas con artejos de crinoideos, alternando con otras de tonos grises en las que se encuentra algún nivel con algas y coral.

Las formaciones clásticas del Carbonífero Superior.

Por encima de la serie calcárea, y en posición probablemente disconforme aunque se presenta en contacto aparentemente normal, se dispone un conjunto de materiales de marcado carácter detrítico o clástico, constituido en esta zona concreta por calizas brechoides oscuras bien estratificadas y con color de alteración pardo, en muchas ocasiones bioclásticas o encriníticas, entre las que se intercalan pizarras negras.

El Cuaternario.

En el área de estudio existen importantes variaciones locales en cuanto al tipo de formaciones superficiales que engloban a los materiales cuaternarios presentes. Así, aparecen:

- en el escarpe situado al S., grandes bloques producto de avalanchas y caídas de rocas.
- niveles estratificados procedentes del abanico torrencial meridional, con granulometría muy variada, formado a partir de la erosión del conjunto de morrenas existente en el sector de Los Lagos.

- coluviones originados por reptación del suelo en la ladera cuarcítica del borde N., conocidos como derrubios ordenados, estratificados paralelamente a la pendiente, antiguos canchales inactivos con los clastos cementados en parte por carbonato, con matriz arenó-arcillosa en algunos puntos.
- rellenos de formas kársticas, con una importante componente detritica fina en su composición, junto con zonas de turberas en sectores húmedos y mal drenados.

3. REALIZACION DE LA CAMPAÑA.

3.1. Medidas.

La realización de esta investigación geofísica por el método de resistividades mediante Sondeos Eléctricos Verticales (S.E.V.) se planteó como campaña de apoyo al estudio geológico efectuado en los Llanos de Comeya, y su objetivo se centró en la determinación del espesor de los sedimentos cuaternarios que constituyen el relleno de la cubeta, dado el previsible contraste entre las resistividades aparentes de estos materiales y las de los que constituyen el substrato de la pequeña cuenca, así como en la posible diferenciación de distintas litologías dentro de dichos sedimentos cuaternarios.

Para ello, se planificó la campaña de S.E.V. considerando dos zonas de trabajo. En la primera de ellas, que cubre la casi totalidad del área de estudio, se situaron los emplazamientos de 16 S.E.V. a lo largo de 4 perfiles de dirección E-O, P-1 al P-4, y 4 perfiles de dirección N-S, P-I al P-IV. En la segunda zona, al SE. del área de estudio, los 3 S.E.V. realizados se agrupan en el perfil P-5, de dirección aproximada E-O. Por tanto, esta campaña geofísica, llevada a cabo utilizando el dispositivo Schlumberger,

tetraelectródico lineal simétrico, consta de 19 S.E.V., cuya situación aparece reflejada en el plano nº 1.

Las longitudes finales de los dispositivos de los S.E.V. realizados, previstas para que la profundidad de interpretación obtenida permitiera definir el contacto entre los materiales cuaternarios y el substrato paleozoico, no coinciden en magnitud debido a las distintas condiciones de apertura de dicho dispositivo en los diferentes emplazamientos de los S.E.V. Estas longitudes se reparten como sigue: 1 S.E.V. con AB = 200 m., 4 S.E.V. con AB = 252 m., 9 S.E.V. con AB = 320 m. y 5 S.E.V. con AB = 400 m. Los azimutes de 15 S.E.V. están comprendidos entre N90° y N100°, siendo los restantes N67°, N122°, N140° y N146°.

La realización de la campaña, debido a razones meteorológicas, de dificultad de acceso y de programación de trabajo, se llevó a cabo en dos etapas. La primera de ellas, durante los días 14 al 16 de Julio de 1988, se ocupó en la ejecución de los S.E.V. incluídos en los perfiles P-1 al P-4, con un total de 16, mientras que la segunda se limita al día 16 de Septiembre de 1988, fecha en la que se concluyó el trabajo de campo con la realización de los 3 S.E.V. que componen el perfil P-5. En su ejecución se utilizó un equipo eléctrico convencional compuesto por los siguientes elementos: una unidad amperimétrica formada por el convertidor IGME 78-01, alimentada por una caja de pilas, y el milivoltímetro GEO-300 nº 412.

En esta campaña se siguieron las recomendaciones hechas por la Norma Española para la Prospección Geofísica

Terrestre por el Método de Resistividades mediante Sondeos Eléctricos Verticales, según la cual se aumentará la distancia entre los electrodos de potencial sólo cuando se dejen de cumplir las normas establecidas para las lecturas en el milivoltímetro, que indican que éstas deben ser notables y superiores a 1/3 del fondo de escala del menor rango de lectura en aparatos analógicos.

3.2. Resultados.

A partir de las curvas de campo se hizo una primera interpretación, mediante el "método del punto auxiliar", utilizando los ábacos de Orellana-Mooney (1966). Partiendo de ésta, y en un ordenador de mesa Hewlett-Packard modelo 9845 B, se utilizó un programa de interpretación automática de S.E.V. que posee el Servicio de Geofísica del I.T.G.E., cuyas salidas gráficas se adjuntan.

Con los resultados de esta interpretación se confec-
cionaron 9 cortes geoeléctricos, que coinciden con los per-
files P-1 al P-5 y P-I al P-IV, en los que se agrupan los
distintos S.E.V. realizados, y que aparecen reflejados en
los planos nº 2 y nº 3, de cortes geoeléctricos.

Como complemento, y a partir de los datos reales medi-
dos en campo, sin ninguna interpretación previa, se dibuja-
ron 3 mapas de isorresistividades en planta en los que se
muestran los valores de las resistividades aparentes obte-
nidas en los distintos S.E.V. para AB = 20 m., AB = 100 m. y

AB = 200 m. Además, y con valores extrapolados de las curvas de campo, se dibujó un cuarto mapa para AB = 400. Esta información, que, tratada cualitativamente, puede apoyar las conclusiones que se obtengan de los cortes geoeléctricos, se recoge en los planos n^{os} 4, 5, 6 y 7.

4. CONCLUSIONES.

Una vez ajustados los resultados obtenidos a partir de las interpretaciones manual y automática de las curvas de campo, se establecen dos tipos de conclusiones: cualitativas y cuantitativas.

Dentro del primer grupo se incluyen las procedentes tanto de los cortes geoeléctricos como de los planos de isorresistividades en planta. En los primeros, considerando los valores interpretados de las resistividades aparentes de cada S.E.V., se distinguen dos grupos de horizontes litoeléctricos:

- en primer lugar, los sedimentos cuaternarios que constituyen el relleno de la depresión estudiada, y que se clasifican como:

a) rellenos de formas kársticas: son los materiales más importantes de la cuenca, por constituir el mayor porcentaje de los sedimentos cuaternarios presentes; sus resistividades bastante homogéneas, entre 50 y 75 ohmios.m, parecen indicar una litología de arcillas arenosas, apartándose de esta consideración el sector situado bajo los S.E.V. nº 10 y nº

11, con resistividades más altas, que podrían corresponder a litologías de arenas y/o arenas poco arcillosas, y el sector situado bajo el S.E.V. nº 15, con resistividades más bajas, que parecen indicar la presencia de arcillas a arcillas poco arenosas. De igual forma, los S.E.V. ^{nos} 17, 18 y 19, agrupados en el perfil P-5, presentan resistividades por debajo de 55 ohmios.m en un horizonte de arcillas a arcillas poco arenosas.

b) coluviones: por debajo del relleno de forma kárstica poco potente en el sector de los S.E.V. nº 3 y nº 7, al NE. del área de estudio, las resistividades altas parecen indicar la presencia de un coluvión constituido por cantos procedentes de las cuarcitas de la Formación Barrios organizado en forma de derrubios ordenados; en ninguno de los S.E.V. mencionados se interpreta como neto el contacto entre este coluvión y el substrato paleozoico dado que no presentan resistividades tan altas como las que se asignan a este substrato en los restantes S.E.V. de estos perfiles, por lo que se representa dicho contacto como supuesto.

c) avalanchas de rocas y abanicos torrenciales: en la franja meridional del área estudiada, especialmente bajo el S.E.V. nº 16, se distinguen unos materiales de resistividades altas que se identifican con los bloques y cantos calcáreos procedentes del abanico torrencial formado a partir de la erosión del conjunto de morrenas existente en el área inmediatamente próxima al S.; como en el caso anterior, el contacto entre estos materiales y el substrato paleozoico se da como supuesto, al igual que en el perfil P-5, bajo el S.E.V. nº 18.

d) nivel indiferenciado: el más moderno cronológicamente, este nivel engloba tanto el suelo actual, con resistividades muy dispares (desde zonas conductoras que corresponden a núcleos de turberas o materiales arcillosos hasta sectores resistentes, asignados a litologías de gravas y cantos), como la escombrera y los materiales procedentes de las balsas de decantación de los residuos de la planta de lavado que trataba el mineral de Fe-Mn-Hg del yacimiento inmediatamente próximo de Buferrrera, explotado por distintas compañías mineras desde finales del siglo pasado hasta que, en el año 1972, la empresa Minas de Buferrrera llevó a cabo las últimas labores de explotación de dicho yacimiento.

- en segundo lugar, las formaciones paleozoicas que constituyen el substrato de la cuenca estudiada y que, cronoestratigráficamente, son:

a) Formación Barrios: situada al N. del área de estudio, no aparece reconocida bajo ningún S.E.V., y se refleja en los cortes geoeléctricos a partir de los datos geológicos de superficie; en los perfiles P-I al P-IV constituye la formación paleozoica septentrional, mientras que sólo se recoge en uno de los perfiles de dirección E-O, el P-1.

b) Formación Valdeteja: ocupa la franja sur de la zona investigada, por lo que sólo aparece con valores litoeléctricos en el perfil P-5 de los de dirección E-O; en los perfiles P-I al P-IV es la formación paleozoica meridional, interpretada a partir de datos de superficie y no de los procedentes de la investigación geofísica.

c) Formación Picos de Europa: constituye la mayor parte del substrato paleozoico presente en la cuenca, con resistividades muy elevadas (en 6 S.E.V. se le asigna un valor de "infinito").

d) Formaciones clásicas del Carbonífero Superior: ocupando un sector al S. de la cuenca, en una franja situada entre las Formaciones Picos de Europa y Valdeteja, presenta resistividades muy altas, aunque menores que las de la formación geológica anterior.

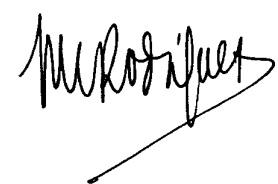
Desde el punto de vista cuantitativo, las conclusiones se centran en la determinación de los espesores de los sedimentos cuaternarios que forman el relleno de la cuenca o, lo que es lo mismo, las profundidades a las que aparece el techo del substrato paleozoico.

De estas profundidades, que aparecen reflejadas en los cortes geoeléctricos, merecen destacarse los valores interpretados bajo los S.E.V. n°s 10 y 11, en los que los sedimentos cuaternarios alcanzan espesores del orden de los 140 m., y bajo el S.E.V. nº 14, con 115 m. de relleno.

Hay que destacar que el sector al que se le asignan los mayores espesores de materiales cuaternarios de relleno (S.E.V. n°s 9, 10 y 11 del perfil P-3 y n°s 13 y 14 del perfil P-4) corresponde al bloque hundido, en la zona más próxima al contacto mecánico, por la falla que pone en contacto la Formación Picos de Europa con las Formaciones clásicas del Carbonífero Superior.

Oviedo, Abril de 1990

El autor del informe



Fdo.: Miguel L. Rodríguez González

INSTITUTO TECNOLOGICO GEOMINERO DE ESPAÑA

Investigación eléctrica en COMEYA - PARQUE DE COVADONGA Fecha 16.7.87

Sondeo eléctrico n° P1-1 (1) Azimut de AB N-98°-E Observador Sr. REBOLLAR

$$\text{Coordenadas Lambert} \left\{ \begin{array}{l} x = \underline{\hspace{2cm}} \\ y = \underline{\hspace{2cm}} \end{array} \right. \text{ Cota Z } \underline{\hspace{2cm}} \text{ Fórmula: } \rho_a = K \frac{\Delta V}{I} \left(K = \frac{\pi}{MN} \left[\left(\frac{AB}{2} \right) \frac{2}{3} \left(\frac{MN}{2} \right)^2 \right] \right)$$

Observaciones: EN $\frac{AB}{2}$ =16 m. EL ALA DERECHA CLAVA EN UNA PISTA (DIRECCION E.).

INSTITUTO TECNOLOGICO GEOMINERO DE ESPAÑA

Investigación eléctrica en COMEYA - PARQUE DE COVADONGA Fecha 16.7.87

Sondeo eléctrico nº P1-2 (2) Azimut de AB N-98°-E Observador Sr. REBOLLAR

Coordenadas $\left\{ \begin{array}{l} x \\ y \end{array} \right.$ Cota Z 55 Fórmula: $\rho_a = K \frac{\Delta V}{I} \left(K = \frac{\pi}{MN} \left[\left(\frac{AB}{2} \right)^2 - \left(\frac{MN}{2} \right)^2 \right] \right)$

Observaciones:

MN 2	AB 2	I		ΔV		K	ρ Ohmicas m.	MN 2	AB 2	I		ΔV		K	ρ Ohmicas m.
		Miliampères	Escala	Milivoltios	Escala					Miliampères	Escala	Milivoltios	Escala		
0,4	1,6	445		10500		9,4	222	MN 2	63	470		21,6		2027 3114	143
	2	462		7200		15,1	235		80	475		17,5		2045 5023	185
	2,5	450		4650		23,9	247		100	700		21,3		2053 7851	239
	3,2	442		2700		39,6	242		126	455		11,4		2045 12466	312
	4	440		1600		62,2	226		160					5.014	
	5	410		835		97,5	199		200					7.841	
	6,3	400		400		155	155		32	160				1.206	
	8	399		185		251	116		200					1.913	
	10	505		116		392	90		250					3.018	
	12,6	520		69		624	83		320					4.976	
0,4	10					75,4			400					7.804	
	12,6					122			500					12.222	
	16	551	42,5	300 1005		78			630					19.432	
	20	410	21	300 1570		80			100	500				3.770	
	25	480	17	300 2454		87			630					6.077	
	32	449	11	300 4021		99			800					9.896	
	40	462	8,4	300 6203		114			1.000					15.551	
	50	460	6,3	300 9817		134			1.260					24.781	
	40	465	36	300 1253		97			1.600					40.055	
	50	460	27,6	300 1960		118			2.000					62.675	

INSTITUTO TECNOLOGICO GEOMINERO DE ESPAÑA

Investigación eléctrica en COMEYA - PARQUE DE COVADONGA Fecha 16.7.87

Sondeo eléctrico nº P1-3 (3) Azimut de AB N-40°-O Observador Sr. REBOLLAR

Coordenadas $\left\{ \begin{array}{l} x \\ y \end{array} \right.$ Cota Z $\left. \begin{array}{l} \\ \text{Hoja n}^{\circ} \end{array} \right.$ Fórmula: $\rho_a = K \frac{\Delta V}{I} \left(K = \frac{\pi}{MN} \left[\left(\frac{AB}{2} \right)^2 - \left(\frac{MN}{2} \right)^2 \right] \right)$
Lambert $\left\{ \begin{array}{l} \\ 55 \end{array} \right.$

Observaciones:

MN 2	AB 2	I		ΔV		K	ρ Ohmios m.	MN 2	AB 2	I		ΔV		K	ρ Ohmios m.
		Miliampares	Escala	Millivoltios	Escala					Miliampares	Escala	Millivoltios	Escala		
0,4	1,6	380		7250		9,4	179	$\frac{\pi}{2}$	63	489		32		204	
	2	360		4480		15,1	188		80	660		32		244	
	2,5	362		3000		23,9	198		100	580		20,2		273	
	3,2	339		1770		39,6	207		126	299		6,85		286	
	4	320		1120		62,2	218		160	230		3,48		304	
	5	275		630		97,5	223		200					7.841	
	6,3	311		422		155	210		32	160				1.206	
	8	369		292		251	199		200					1.913	
	10	360		162		392	176		250					3.018	
	12,6	325		79		624	152		320					4.976	
0,4	10					75,4			400					7.804	
	12,6					122			500					12.222	
	16	340		44		300 1005	130		630					19.432	
	20	290		24,3		344 1570	132		100	500				3.770	
	25	360		21,3		200 2454	145		630					6.077	
	32	370		15,5		300 4021	168		800					9.896	
	40	419		11,9		200 6283	178		1.000					15.551	
	50	425		8,2		300 9817	189		1.260					24.781	
	40	412		58,2		300 1253	177		1.600					40.055	
	50	430		40		300 1960	182		2.000					62.675	

INSTITUTO TECNOLOGICO GEOMINERO DE ESPAÑA

Investigación eléctrica en COMEYA - PARQUE DE COVADONGA Fecha 16.7.87

Sondeo eléctrico nº P2-1 (4) Azimut de AB N-95°-E Observador Sr. REBOLLAR

Coordenadas { x _____ Cota Z _____
Lambert | y _____ Hoja nº 55 Fórmula: $\rho_a = K \frac{\Delta V}{I} \left(K = \frac{\pi}{MN} \left[\left(\frac{AB}{2} \right)^2 - \left(\frac{MN}{2} \right)^2 \right] \right)$

Observaciones: EN AB = 12,6 m. EL ALA IZQUIERDA CLAVA AL LADO DEL RIO.

MN 2	AB 2	I		ΔV		K	ρ Ohmios m.	MN 2	AB 2	I		ΔV		K	ρ Ohmios m.
		Miliampares	I	Milivoltios	ΔV					Miliampares	I	Milivoltios	ΔV		
0,4	1,6	820		7700		9,4	88	2	63	420		12,9		302 3114	96
	2	855		5200		15,1	92		80	580		13,1		1245 5023	113
	2,5	615 790		2400 3050		23,9	93 92		100	602		11		1281 7851	143
	3,2	735		1690		39,6	91		126	615		9,2		3405 12466	186
	4	660		860		62,2	81		160					5.014	
	5	700		515		97,5	72		200					7.841	
	6,3	705		295		155	65		32	160				1.206	
	8	670		176		251	62		200					1.913	
	10	860		139		392	63		250					3.018	
	12,6	722		80,5		624	70		320					4.976	
0,4	10					75,4			400					7.804	
	12,6					122			500					12.222	
	16	565 722		37,5 48		388 1005	67		630					19.432	
	20	530		23,5		344 1570	70		100	500				3.770	
	25	500		14,7		288 2454	72		630					6.077	
	32	470		9,1		288 4021	78		800					9.896	
	40	320		4,25		288 6283	83		1.000					15.551	
	50	370		3,42		288 9877	91		1.260					24.781	
	40	325		19,4		388 1253	75		1.600					40.055	
	50	370		15,5		388 1960	82		2.000					62.675	

INSTITUTO TECNOLOGICO GEOMINERO DE ESPAÑA

Investigación eléctrica en COMEYA - PARQUE DE COVADONGA Fecha 16.7.87

Sondeo eléctrico nº P2-2 (5) Azimut de AB N-95°-E Observador Sr. REBOLLAR

Coordenadas { x _____ Cota Z _____ Coordenadas Lambert { x _____ Cota Z _____ Fórmula: $\rho_a = K \frac{\Delta V}{I} (K - \frac{\pi}{MN} [(\frac{AB}{2})^2 - (\frac{MN}{2})^2])$
y _____ Hoja nº 55

Observaciones: _____

MN 2	AB 2	I		ΔV		K	ρ Ohmios m.	MN 2	AB 2	I		ΔV		K	ρ Ohmios m.
		Miliampares	Amp	Milivoltios	ΔV					Miliampares	Amp	Milivoltios	ΔV		
0,4	1,6	572		9900		9,4	163	2	63	390		11,5		287 3114	92
	2	495		5800		15,1	177		80	375		8,25		1344 5023	111
	2,5	505		4050		23,9	192		100	742		12,3		130 1301 7051	
	3,2	475		2400		39,6	200		126	580		7,95		3405 12466	171
	4	505		1650		62,2	203		160	635		6,95		5048 20103	220
	5	522		1050		97,5	196		200					7.841	
	6,3	630		720		155	177		32	160				1.206	
	8	155		99		251	160		200					1.913	
	10	155		55,5		392	140		250					3.018	
	12,6	529		103		624	121		320					4.976	
0,4	10					75,4		100	500					7.804	
	12,6					122			630					12.222	
	16	430		40,5		200 1005	95		800					19.432	
	20	399		20,5		200 1570	81		1.000					3.770	
	25	440		13,7		200 2464	76		630					6.077	
	32	420		8,1		200 4021	78		800					9.896	
	40	452		5,95		200 6203	83		1.000					15.551	
	50	440		3,95		200 9817	88		1.260					24.781	
	40	450		28,1		200 1253	78		1.600					40.055	
	50	440		18,9		200 1960	84		2.000					62.675	

INSTITUTO TECNOLOGICO GEOMINERO DE ESPAÑA

Investigación eléctrica en COMEYA - PARQUE DE COVADONGA Fecha 16.7.87

Sondeo eléctrico nº P2-3 (6) Azimut de AB N-93°-E Observador Sr. REBOLLAR

Coordenadas $\left\{ \begin{array}{l} x \\ y \end{array} \right.$ Cota Z $\left\{ \begin{array}{l} \text{Lambert} \\ \text{Hoja n. } 55 \end{array} \right.$ Fórmula: $\rho_a = K \frac{\Delta V}{I} \left(K = \frac{\pi}{MN} \left[\left(\frac{AB}{2} \right)^2 - \left(\frac{MN}{2} \right)^2 \right] \right)$

Observaciones:

MN 2	AB 2	I		ΔV		K	ρ Ohmios m.	$\frac{MN}{2}$	AB 2	I		ΔV		K	ρ Ohmios m.						
		Millampares		Millivoltios						Millampares		Millivoltios									
		I	ΔV	I	ΔV					I	ΔV	I	ΔV								
0,4	1,6	540		10300		9,4	179	$\frac{X}{2}$	63	410		14,9		2022 3114	113						
	2	495		7000		15,1	214		80	360		9,7		12445 5023	135						
	2,5	500		4850		23,9	232		100	510		10,5		12037 7851	162						
	3,2	420		2540		39,6	240		126	489		8		3483 12466	204						
	4	390		1435		62,2	229		160	515		6,45		12048 26103	252						
	5	420		960		97,5	223		200					7.841							
	6,3	420		531		155	196		32	160				1.206							
	8	380		255		251	168		200					1.913							
	10	412		141		392	134		250					3.018							
	12,6	420		71,5		624	106		320					4.976							
0,4	10					75,4			400					7.804							
	12,6					122			500					12.222							
	16	390		36		305 1005	93		630					19.432							
	20	390		21,6		305 1570	87		100	500				3.770							
	25	385		13,3		281 2454	85		630					6.077							
	32	450		10		201 4021	89		800					9.896							
	40	410		6,3		205 6283	97		1.000					15.551							
	50	405		4,2		200 9817	102		1.260					24.781							
	40	410		29,9		205 1253	91		1.600					40.055							
	50	405		20,3		205 1160	98		2.000					62.675							

INSTITUTO TECNOLOGICO GEOMINERO DE ESPAÑA

Investigación eléctrica en COMEYA - PARQUE DE COVADONGA Fecha 16.7.87

Sondeo eléctrico nº P2-4(7) Azimut de AB N-58°-0 Observador Sr. REBOLLAR

Coordenadas $\left\{ \begin{array}{l} x \\ y \end{array} \right.$ Cota Z $\left\{ \begin{array}{l} \text{Lambert} \\ \text{Hoja n. } 55 \end{array} \right.$ Fórmula: $\rho_0 = K \frac{\Delta V}{I} \left(K = \frac{\pi}{MN} \left[\left(\frac{AB}{2} \right)^2 - \left(\frac{MN}{2} \right)^2 \right] \right)$

Observaciones:

MN 2	AB 2	I		ΔV		K	ρ Ohmios m.	MN 2	AB 2	I		ΔV		K	ρ Ohmios m.
		Miliampérios	Escala	Milivoltios	Escala					Miliampérios	Escala	Milivoltios	Escala		
0,4	1,6	385		6500		9,4	159	X 2	63	480		21,5		282 3114	139
	2	400		4100		15,1	155		80	460		15,7		12442 5023	171
	2,5	399		2680		23,9	161		100	825		21		12443 7851	200
	3,2	395		1560		39,6	156		126	585		10,8		34463 12466	230
	4	435		1015		62,2	145		160	645		8,2		12444 20103	256
	5	430		585		97,5	133		200					7.841	
	6,3	470		350		155	115		32	160				1.206	
	8	475		194		251	103		200					1.913	
	10	430		100		392	91		250					3.018	
	12,6	555		72,5		624	82		320					4.976	
0,5	10					75,4			400					7.804	
	12,6					122			500					12.222	
	16	570		46,5		398 1005	82		630					19.432	
	20	565		29,7		344 1570	83		100	500				3.770	
	25	565		19		263 2454	83		630					6.077	
	32	550		12,2		163 4021	89		800					9.896	
	40	415		6,7		1238 6283	101		1.000					15.551	
	50	460		5,65		1668 9817	121		1.260					24.781	
	40	415		31,7		362 1253	96		1.600					40.055	
	50	460		27		362 1460	115		2.000					62.675	

INSTITUTO TECNOLOGICO GEOMINERO DE ESPAÑA

Investigación eléctrica en COMEYA - PARQUE DE COVADONGA Fecha 15.7.87

Sondeo eléctrico nº P3-1 (8) Azimut de AB N-90°-E Observador Sr. REBOLLAR

Coordenadas { x _____ Cota Z _____ Fórmula: $\rho_a = K \frac{\Delta V}{I} \left(K \cdot \frac{\pi}{MN} \left[\left(\frac{AB}{2} \right)^2 - \left(\frac{MN}{2} \right)^2 \right] \right)$
Lambert y _____ Hoja nº 55

Observaciones: EL ALA IZQUIERDA, EN SU TOTALIDAD, CLAVA EN TERRENO MUY ENCHARCADO.
(DIRECCION E.)

MN 2	AB 2	I		ΔV		K	P Ohmios m.	MN 2	AB 2	I		ΔV		K	P Ohmios m.
		Miliampares	Escala	Milivoltios	Escala					Miliampares	Escala	Milivoltios	Escala		
0,4	1,6	1152		4400		9,4	36	32	63	700		19,7		202	88
	2	1170		3000		15,1	39		80	550		15,5		3114	88
	2,5	1200		2100		23,9	42		100	660		14,5		102	110
	3,2	1200		1320		39,6	44		126	1250		22,4		1051	141
	4	1260		900		62,2	44		160	107,5		2,9		1066	193
	5	1240		560		97,5	44		200					12466	
	6,3	1255		360		155	44		160					5.014	
	8	1200		217		251	45		200					7.841	
	10	1175		140		392	47		250						
	12,6	1245		95		624	48		320						
0,4	10					75,4			400						
	12,6					122			500						
	16	1100		53,5		304 1005	49		630						
	20	1160		38		304 1570	51		100	500					
	25	1180		25,9		304 2454	54		630						
	32	1080		15,6		304 4021	58		800						
	40	1140		11,4		304 6283	63		1.000						
	50	1040		7,53		304 9817	71		1.260						
	40	1140		58		304 1253	64		1.600						
	50	1040		38,5		304 1960	73		2.000						

INSTITUTO TECNOLOGICO GEOMINERO DE ESPAÑA

Investigación eléctrica en COMEYA - PARQUE DE COVADONGA Fecha 15.7.87

Sondeo eléctrico nº P3-2 (9) Azimut de AB N-95°-E Observador Sr. REBOLLAR

Coordenadas $\left\{ \begin{array}{l} x \\ y \end{array} \right.$ Cota Z $\left\{ \begin{array}{l} \text{Lambert} \\ \text{Hoja n°} \end{array} \right.$ Fórmula: $P_0 = K \frac{\Delta V}{I} \left(K = \frac{\pi}{MN} \left[\left(\frac{AB}{2} \right)^2 \left(\frac{MN}{2} \right)^2 \right] \right)$

Observaciones:

MN z	AB z	I		ΔV		K	ρ Ohmios m.	MN z	AB z	I		ΔV		K	ρ Ohmios m.
		Miliampieres	Escala	Milivoltios	Escala					Miliampieres	Escala	Milivoltios	Escala		
0,4	1,6	265		7200		9,4	255	MN z	63	2725		6,9		2857 3144	79
	2	242		3300		15,1	206		80	830		14		2442 5023	85
	2,5	220		1450		23,9	158		100	500		5,8		2881 7851	91
	3,2	244		610		39,6	99		126	460		3,85		3405 12466	104
	4	202,5		275		62,2	84		160	860		5,45		5.014 20103	127
	5	185		135		97,5	71		200	300		1,52		7.841 31413	159
	6,3	180		76		155	65		32	160				1.206	
	8	122,5		32		251	66		200					1.913	
	10	132		22		392	65		250					3.018	
	12,6	102,5		10,8		624	66		320					4.976	
0,4	10					75,4			400					7.804	
	12,6					122			500					12.222	
	16	108		7,2		388 1005	67		630					19.432	
	20	82		3,7		344 1570	71		100	500				3.770	
	25	60		1,81		266 2454	74		630					6.077	
	32	77,5		1,45		264 4021	75		800					9.896	
	40	98		1,23		265 6283	79		1.000					15.551	
	50	130		1,02		266 9817	77		1.260					24.781	
	40	98		5,9		266 1253	75		1.600					40.055	
	50	100		3,75		266 1460	74		2.000					62.675	

INSTITUTO TECNOLOGICO GEOMINERO DE ESPAÑA

Investigación eléctrica en COMEYA - PARQUE DE COVADONGA Fecha 15.7.87

Sondeo eléctrico n° P3-3 (10) Azimut de AB N-95°-E Observador Sr. REBOLLAR

Coordenadas { x _____ Cota Z _____ Fórmula: $\rho_a = K \frac{\Delta V}{I} \left(K = \frac{\pi}{MN} \left[\left(\frac{AB}{2} \right)^2 - \left(\frac{MN}{2} \right)^2 \right] \right)$
Lambert { y _____ Hoja n° 55

Observaciones: _____

MN 2	AB 2	I		ΔV		K	ρ Ohmios m.	MN 2	AB 2	I		ΔV		K	ρ Ohmios m.
		Miliampieres	Escala	Milivoltios	Escala					Miliampieres	Escala	Milivoltios	Escala		
0,4	1,6	280		3250		9,4	109	<u>X</u> <u>2</u>	63	165		6,3	3042 3114	119	
	2	440		3300		15,1	113		80	335		7,75	3044 5023	116	
	2,5	458		2300		23,9	120		100	940		14	3051 7851	117	
	3,2	465		1500		39,6	128		126	605		6	3106 12466	124	
	4	490		1050		62,2	133		160	235		1,65	3044 20103	141	
	5	440		650		97,5	144		200	190		1,07	3041 31413	177	
	6,3	400		391		155	152		32	160			1.206		
	8	320		206		251	162		200				1.913		
	10	399		161		392	158		250				3.018		
	12,6	440		106		624	150		320				4.976		
0,4	10					75,4			400				7.804		
	12,6					122			500				12.222		
	16	292 230		42 32,8		3042 1005	145 143		630				19.432		
	20	234 305		21,2 27,5		3042 1570	142 142		100	500			3.770		
	25	212,5		11,5		3042 2454	133		630				6.077		
	32	105		3,3		3042 4021	126		800				9.896		
	40	182		3,6		3042 6283	124		1.000				15.551		
	50	264		3,25		3042 9817	121		1.260				24.781		
	40	182,5		17,8		3042 1253	122		1.600				40.055		
	50	205		12,5		3042 1460	120		2.000				62.675		

INSTITUTO TECNOLOGICO GEOMINERO DE ESPAÑA

Investigación eléctrica en COMEYA - PARQUE DE COVADONGA Fecha 15.7.87

Sondeo eléctrico n° P3-4 (11) Azimut de AB N-95°-E Observador Sr. REBOLLAR

Coordenadas { x _____ Cota Z _____
Lambert { y _____ Hoja n° 55 Fórmula: $\rho_a = K \frac{\Delta V}{I} \left(K = \frac{\pi}{MN} \left[\left(\frac{AB}{2} \right)^2 - \left(\frac{MN}{2} \right)^2 \right] \right)$

Observaciones: _____

MN 2	AB 2	I		ΔV		K	ρ Ohmios m.	MN 2	AB 2	I		ΔV		K	ρ Ohmios m.
		Miliampares	Escala	Milivoltios	Escala					Miliampares	Escala	Milivoltios	Escala		
0,4	1,6	170		5150		9,4	285	X 2	63	230		12,1		202 3114	164
	2	170		2735		15,1	243		80	550		16,6		2048 5283	176
	2,5	182		1400		23,9	184		100	815		15,9		2081 7851	153
	3,2	217		920		39,6	168		126	359		4,5		2106 12466	156
	4	245		665		62,2	169		160	292		2,5		2041 20103	172
	5	295		540		97,5	178		200	510		3,35		2041 31413	206
	6,3	310		385		155	193		32	160				1.206	
	8	220		191		251	218		200					1.913	
	10	172		102		392	232		250					3.018	
	12,6	167,5		64		624	238		320					4.976	
0,4	10					75,4			400					7.804	
	12,6					122			500					12.222	
	16	172,5		41		202 1005	239		630					19.432	
	20	331		50,5		202 1570	240		100	500				3.770	
	25	369		34		202 2454	226		630					6.077	
	32	242		12,6		202 4021	209		800					9.896	
	40	152		4,7		202 6283	194		1.000					15.551	
	50	276		4,7		202 9817	167		1.260					24.781	
	40	152		25,5		202 1253	209		1.600					40.055	
	50	276		25,7		202 1460	183		2.000					62.675	

INSTITUTO TECNOLOGICO GEOMINERO DE ESPAÑA

Investigación eléctrica en COMEYA - PARQUE DE COVADONGA Fecha 15.7.87

Sondeo eléctrico nº P3-5 (12) Azimut de AB N-97°-E Observador Sr. REBOLLAR

Coordenadas $\left\{ \begin{array}{l} x \\ y \end{array} \right.$ Cota Z $\left. \begin{array}{l} \\ \text{Hoja n}^{\circ} \end{array} \right.$ Fórmula: $\rho_a = K \frac{\Delta V}{I} \left(K = \frac{\pi}{MN} \left[\left(\frac{AB}{2} \right)^2 - \left(\frac{MN}{2} \right)^2 \right] \right)$
Lambert $\left. \begin{array}{l} \\ 55 \end{array} \right.$

Observaciones: A PARTIR DE $\frac{AB}{2} = 100$ m. EL ALA DIRECCION ESTE CLAVA EN LADERA. NO SE HIZO LA MEDIDA EN $\frac{AB}{2} = 12,6$ m. POR COINCIDIR CON EL RIO.

MN 2	AB 2	I		ΔV		K	ρ Ohmios m.	MN 2	AB 2	I		ΔV		K	ρ Ohmios m.
		Miliampares	I	Milivoltios	ΔV					Escala	I	Escala	ΔV		
0,4	1,6	540		5400		9,4	94	X 2	63	470		18,1	2022 3114	120	
	2	549		3600		15,1	99		80	645		17,7	2044 5023	138	
	2,5	559		2560		23,9	109		465	465		12,7	137		
	3,2	550		1670		39,6	120		100	830		17,3	2044 7851	164	
	4	549		1150		62,2	130		126	380		5,8	2044 12466	190	
	5	620		920		97,5	145		160	365		4,12	2044 20103	227	
	6,3	635		642		155	157		200				7.841		
	8	590		395		251	168		32	160			1.206		
	10	338		152		392	176		200				1.913		
	12,6					624			250				3.018		
0,4	10					75,4			320				4.976		
	12,6					122			400				7.804		
	16	641		124		2005 1005	194		500				12.222		
	20	530		58		2005 1570	172		630				19.432		
	25	480		29		2005 2454	148		100	500			3.770		
	32	480		15,5		2005 4021	130		630				6.077		
	40	355		6,63		2005 6283	117		800				9.896		
	50	372		4,35		2005 4817	115		1.000				15.551		
	40	355		33,5		2005 1253	118		1.260				24.781		
	50	371		22		2005 1960	116		1.600				40.055		
									2.000				62.675		

INSTITUTO TECNOLOGICO GEOMINERO DE ESPAÑA

Investigación eléctrica en COMEYA - PARQUE DE COVADONGA Fecha 14.7.87

Sondeo eléctrico nº P4-1 (13) Azimut de AB N-34°-0 Observador Sr. REBOLLAR

Coordenadas { x _____ Cota Z _____
Lambert y _____ Hoja nº 55 Fórmula: $\rho_a = K \frac{\Delta V}{I} \left(K = \frac{\pi}{MN} \left[\left(\frac{AB}{2} \right)^2 - \left(\frac{MN}{2} \right)^2 \right] \right)$

Observaciones: TERRENO MUY ENCHARCADO.

MN 2	AB 2	I		ΔV		K	ρ Ohmios m.	MN 2	AB 2	I		ΔV		K	ρ Ohmios m.
		Miliampères Escala	I	Milivoltios Escala	ΔV					Miliampères Escala	I	Milivoltios Escala	ΔV		
0,4	1,6	970		3900		9,4	38	X 2	63	950		16,8		202 3114	55
	2	1000		2650		15,1	40		80	755		8,8		1244 5023	59
	2,5	950		1600		23,9	40		100	330		2,8		1291 7851	67
	3,2	1040		1075		39,6	41		126	502		3,15		3405 12466	78
	4	1050		695		62,2	41		160					5.014	
	5	950		410		97,5	42		200					7.841	
	6,3	1025		285		155	43		32	160				1.206	
	8	1010		180		251	45		200					1.913	
	10	1030		125		392	48		250					3.018	
	12,6	1100		83		624	47		320					4.976	
0,4	10					75,4			400					7.804	
	12,6					122			500					12.222	
	16	1040		50,5		300 1005	49		630					19.432	
	20	950		30		300 1570	50		100	500				3.770	
	25	990		20,5		200 2454	51		630					6.077	
	32	850		11,2		300 4021	53		800					9.896	
	40	845		7,25		300 6283	54		1000					15.551	
	50	735		4		300 9817	53		1260					24.781	
	X 2	40	845	36		300 1253	53		1600					40.055	
	50	745		20		300 1460	53		2000					62.675	

INSTITUTO TECNOLOGICO GEOMINERO DE ESPAÑA

Investigación eléctrica en COMEYA - PARQUE DE COVADONGA Fecha 14.7.87

Sondeo eléctrico nº P4-2 (14) Azimut de AB N-95°-E Observador Sr. REBOLLAR

Coordenadas $\left\{ \begin{array}{l} x \\ y \end{array} \right.$ Cota Z $\left\{ \begin{array}{l} \text{Lambert} \\ \text{Hoja n°} \end{array} \right.$ 55 Fórmula: $\rho_a = K \frac{\Delta V}{I} \left(K = \frac{\pi}{MN} \left[\left(\frac{AB}{2} \right)^2 - \left(\frac{MN}{2} \right)^2 \right] \right)$

Observaciones:

MN z	AB z	I		ΔV		K	ρ Ohmios m.	MN z	AB z	I		ΔV		K	ρ Ohmios m.
		Miliampieres	I	Miliampieres	ΔV					Miliampieres	I	Miliampieres	ΔV		
0,4	1,6	230		1800		9,4	196	X 2	63	360		12		262 3114	104
	2	202		2550		15,1	191		80	505		9,2		1244 5023	92
	2,5	195		1310		23,9	159		100	172,5		2,07		1253 7851	94
	3,2	212		650		39,6	121		126	310		2,55		3405 12466	103
	4	215		325		62,2	94		160	580	3	2,13		5044 20103	104
	5	215		166		97,5	75		200					7.841	105
	6,3	240		104		155	67								
	8	275		72,5		251	66		32	160				1.206	
		190		50			66		200					1.913	
	10	400		69		392	68		250					3.018	
0,4	12,6	510		59,5		624	73		320					4.976	
	10						75,4		400					7.804	
	12,6						122		500					12.222	
	16	640		51,5		388 1005	81		630					19.432	
	20	640		37		344 1570	91		100	500				3.770	
	25	730		30		288 2454	101		630					6.077	
	32	650		17		288 4021	105		800					9.896	
	40	155		2,65		1005 6283	107		1.000					15.551	
	50	202,5		2,12		1003 9817	103		1.260					24.781	
	40	155		13,5		308 1253	109		1.600					40.055	
	50	205		11,1		308 1960	106		2.000					62.675	

INSTITUTO TECNOLOGICO GEOMINERO DE ESPAÑA

Investigación eléctrica en COMEYA - PARQUE DE COVADONGA Fecha 14.7.87

Sondeo eléctrico n° P4-3 (15) Azimut de AB N-100°E Observador Sr. REBOLLAR

Coordenadas $\left\{ \begin{array}{l} x \\ y \end{array} \right.$ Cota Z _____ Fórmula: $\rho_a = K \frac{\Delta V}{I} \left(K = \frac{\pi}{MN} \left[\left(\frac{AB}{2} \right)^2 - \left(\frac{MN}{2} \right)^2 \right] \right)$
Lambert Hoja n° 55

Observaciones: _____

MN 2	AB 2	I		ΔV		K	ρ Ohmios m.	MN 2	AB 2	I		ΔV		K	ρ Ohmios m.
		Millampieles	Escala	Millivoltios	Escala					Millampieles	Escala	Millivoltios	Escala		
0,4	1,6	1100		4650		9,4	40	32	63	830		51,5		202 3114	193
	2	1050		3050		15,1	44		80	330		12,5		2043 5023	190
	2,5	722		1500		23,9	50		100	230		8,8		2051	192
	3,2	665		935		39,6	56		126	187,5		3,9		2051 7851	163
	4	660		685		62,2	65		160	605		7,5		2063 12466	155
	5	540		430		97,5	78		160	260		3,2		20703	153
	6,3	455		267		155	91		200	412		3,12		20703	152
	8	410		180		251	110		200	325		2,47		20703	153
	10	310		102		392	129		200	139		0,69		2083 31413	156
	12,6	255		60,5		624	148		250						
		380		89,5			147		320						
0,4	10					75,4			400						
	12,6					122			500						
	16	390		65,5		304 1005	169		630						
	20	570		58		341 1570	160		500						
		405		41,5			161		630						
	25	145		10,2		208 2454	173		800						
	32	190		7,5		304 4021	159		800						
		130		5,1			158		1.000						
	40	185		4,85		303 6283	165		1.260						
	50	330		5,85		300 9817	174		1.600						
$\frac{X}{2}$	40	185		26		303 1253	176		2.000						
	50	330		31		303 1960	184								

INSTITUTO TECNOLOGICO GEOMINERO DE ESPAÑA

Investigación eléctrica en COMEYA - PARQUE DE COVADONGA Fecha 15.7.87

Sondeo eléctrico nº P4-4 (16) Azimut de AB N-95°-E Observador Sr. REBOLLAR

Coordenadas { x _____ Cota Z _____
Lambert y _____ Hoja nº 55 Fórmula: $\rho_a = K \frac{\Delta V}{I} \left(K \cdot \frac{\pi}{MN} \left[\left(\frac{AB}{2} \right)^2 - \left(\frac{MN}{2} \right)^2 \right] \right)$

Observaciones: _____

MN 2	AB 2	I		ΔV		K	ρ Ohmios m.	MN 2	AB 2	I		ΔV		K	ρ Ohmios m.
		Miliampares	I	Miliampares	ΔV					Miliampares	I	Miliampares	ΔV		
0,4	1,6	162,5		6600		9,4	382	X 2	63	266		34,5		202 3114	404
	2	167		3850		15,1	348		80	260		22,1		244 6023	427
	2,5	155		2040		23,9	315		100	515		28,5		1981 7851	434
	3,2	158		1070		39,6	268		126	700		24,4		3405 12466	435
	4	156		625		62,2	249		160	152 220		3,3 4,8		3045 20103	436 439
	5	180		440		97,5	238		200	365		5,05		2041 31413	435
	6,3	180		280		155	241								
	8	139 202		126 185		251	228 230		32	160				1.206	
	10	312		189		392	237		200					1.913	
	12,6	135		55,5		624	257		250					3.018	
0,4	10					75,4			320					4.976	
	12,6					122			400					7.804	
	16	257		74		202 1005	289		500					12.222	
	20	190		35,8		204 1570	296		630					19.432	
	25	132,5		15,3		202 2454	283		100	500				3.770	
	32	176		13,1		202 4021	299		630					6.077	
	40	152 195		7,6 9,85		202 6293	314 317		800					9.896	
	50	216		7,4		202 9817	336		1.000					15.551	
									1.260					24.781	
	X 2	40	195	55		202 1253	353		1.600					40.055	
		50	215	40,5		202 1960	369		2.000					62.675	

INSTITUTO TECNOLÓGICO GEOMINERO DE ESPAÑA

Investigación eléctrica en COMEYA - PARQUE DE COVADONGA Fecha 16.9.87

Sondeo eléctrico nº P5-1(17) Azimut de AB N-67° E Observador Sr. REBOLLAR

$$\text{Coordenadas Lambert} \left\{ \begin{array}{l} x = \underline{\hspace{2cm}} \\ y = \underline{\hspace{2cm}} \end{array} \right. \text{ Cota Z } \underline{\hspace{2cm}} \text{ Fórmula: } \rho_a = K \frac{\Delta V}{I} \left(K = \frac{\pi}{MN} \left[\left(\frac{AB}{2} \right)^2 + \left(\frac{MN}{2} \right)^2 \right] \right)$$

Observaciones: EN $\frac{AB}{2} = 40$ m. EL ALA DIRECCION ESTE CLAVA EN ROCA.

MN 2	AB 2	I		ΔV		K	P Ohmies m.	MN 2	AB 2	I		ΔV		K	P Ohmies m.						
		Millampères		Millivolts						Millampères		Millivolts									
		Escale	I	Escale	ΔV					Escale	I	Escale	ΔV								
0,4	1,6	120	1695	9,4	133	X 2	X 2	63	268	8	X 2 3114	93									
	2	117	920	15,1	119			80	400	6,1	X 2 5023	77									
	2,5	133 114	450 385	23,9	81 81			100	499	4,75	X 2 7851	75									
	3,2	222,5 155	435 300	39,6	77 77			126	570	3,65	X 2 12466	80									
	4	280	350	62,2	78			160	650	3,05	X 2 20103	94									
	5	274	238	97,5	85			200		7,841											
	6,3	249	138	155	86																
	8	229	79	251	87																
	10	260	59	392	89																
	12,6	660	97,5	624	92																
0,4	10				75,4		32	160				1.206									
	12,6				122			200				1.913									
	16	910	89	X 2 1005	98			250				3.018									
	20	540	37	X 2 1570	108			320				4.976									
	25	232,5	11,35	X 2 2454	120			400				7.804									
	32	265 340	8,3 10,5	X 2 4021	126 124			500				12.222									
	40	184 235	3,2 4,1	X 2 6283	109 110			630				19.432									
	50	236	1,6	X 2 9817	67																
	40	235 185	22,8 18,1	X 2 1253	122 123																
	50	239	9,45	X 2 1960	77																
X 2								100	500			3.770									
								630				6.077									
								800				9.896									
								1.000				15.551									
								1.260				24.781									
								1.600				40.055									
								2.000				62.675									

INSTITUTO TECNOLOGICO GEOMINERO DE ESPAÑA

Investigación eléctrica en COMEYA - PARQUE DE COVADONGA Fecha 16.9.87

Sondeo eléctrico nº P5-2 (18) Azimut de AB N-94°-E Observador Sr. REBOLLAR

$$\text{Coordenadas Lambert} \left\{ \begin{array}{l} x = \underline{\hspace{2cm}} \\ y = \underline{\hspace{2cm}} \end{array} \right. \text{ Cota Z } \underline{\hspace{2cm}} \text{ Hoja n° } \underline{\hspace{2cm}} \text{ Fórmula: } \rho_a = K \frac{\Delta V}{I} \left(K \cdot \frac{\pi}{MN} \left[\left(\frac{AB}{2} \right)^2 + \left(\frac{MN}{2} \right)^2 \right] \right)$$

Observaciones: _____

MN 2	AB 2	I		ΔV		K	g Ohmies m.	MN 2	AB 2	I		ΔV		K					
		Milliamperes		Millivolts						Milliamperes		Millivolts							
		Scale	I	Scale	ΔV					Scale	I	Scale	ΔV						
0,4	1,6	360		4120		9,4	108	X 2	63	269		5,8		X 2 3114	67				
	2	440		3250		15,1	112		80	134		1,93		X 2 5023	72				
	2,5	460		2450		23,9	127		100	640		6,86		X 2 7851	84				
	3,2	350		1225		39,6	139		126	449		3,65		X 2 12466	101				
	4	210		505		62,2	150		160					5.014					
	5	242		370		97,5	149		200					7.841					
	6,3	178		174		155	152												
		256		252			153												
	8	340		206		251	152												
	10	320		121		392	148												
0,4	12,6	235		54		624	143												
	10					75,4													
	12,6					122													
	16	166		19,4		X 2 1005	118												
	20	262		15,5		X 2 1570	93												
	25	230		7		X 2 2454	75		100	500				3.770					
	32	272		4,65		X 2 4021	68		630					6.077					
	40	250		2,45		X 2 6283	62		800					9.896					
	50	650		4,2		X 2 9817	63		1.000					15.551					
									1.260					24.781					
X 2	40	250		12,5		X 2 1263	63		1.600					40.055					
	50	650		21,4		X 2 1460	65		2.000					62.675					

INSTITUTO TECNOLOGICO GEOMINERO DE ESPAÑA

Investigación eléctrica en COMEYA - PARQUE DE COVADONGA Fecha 16.9.87

Sondeo eléctrico nº P5-3 (19) Azimut de AB N-92°-E Observador Sr. REBOLLAR

Coordenadas { x _____ Cota Z _____ Fórmula: $\rho_a = K \frac{\Delta V}{I} \left(K = \frac{\pi}{MN} \left[\left(\frac{AB}{2} \right)^2 - \left(\frac{MN}{2} \right)^2 \right] \right)$
Lambert y _____ Hoja nº 55

Observaciones: A PARTIR DE $\frac{AB}{2} = 16$ m. EL ALA DIRECCION OESTE CLAVA EN UNA MESETA DE COTA 1 m. SUPERIOR A LA DEL PUNTO O.

MN 2	AB 2	I		ΔV		K	ρ Ohmios m.	MN 2	AB 2	I		ΔV		K	ρ Ohmios m.
		Miliampares	Escala	Miliampares	Escala					Escala	ΔV	Escala	ΔV		
0,4	1,6	805		6450		9,4	75	32	63	350		6,63		202 3114	59
	2	825		4700		15,1	86		80	499		6,52		202 5023	66
	2,5	783		3200		23,9	98		100	670		6,82		202 7851	80
	3,2	790		2205		39,6	111		126	920		7,8		202 12466	106
	4	682		1260		62,2	115		160					5.014	
	5	640		790		97,5	120		200					7.844	
	6,3	740		558		155	117		160						
	8	750		368		251	123		200						
	10	590		183		392	122		250						
	12,6	610		117		624	120		320						
0,4	10					75,4			400					7.804	
	12,6					122			500					12.222	
	16	95		9,65		300 1005	102		630					19.432	
	20	116		7,25		300 1570	98		500					3.770	
	25	222		7,8		200 2454	86		630					6.077	
	32	213		3,82		200 4021	72		800					9.896	
	40	275		2,97		1250 6283	68		1.000					15.551	
	50	166		1,1		200 4917	65		1.260					24.781	
	40	192 275		9		200 1263	59		1.600					40.055	
	50	166		4,8		200 1960	57		2.000					62.675	

I. G. M. E. DEPARTAMENTO DE GEOFISICA

Prospección en COMEYA - COVADONGA Fecha 16.7.87

Interpretación:

Capas	Espesores (m)	Z (m.)	Resistividades ($\Omega \text{ m}$)
1		1	80
2		1.3	1060
		34	55
			∞

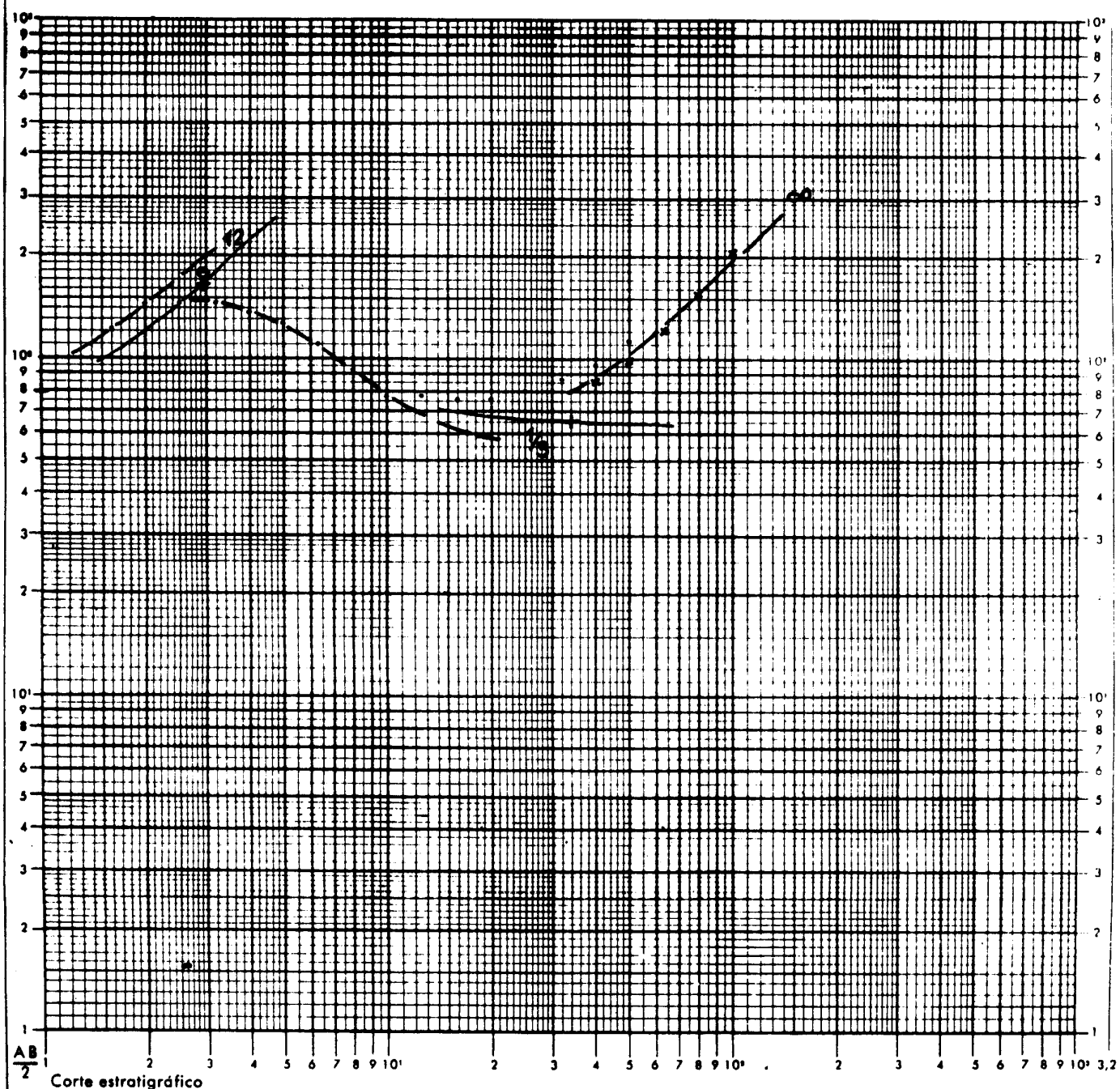
S. E. V. P1-1

Datos:

Azimutul de AB₁ N-98°-E

Cota de superficie Z:

Coordenadas (X)



I. G. M. E. DEPARTAMENTO DE GEOFISICA

Prospección en COMEYA-COVADONGA Fecha 16.7.87

Interpretación:

Capas	Espesores (m)	Z (m)	Resistividades (Ω m)
1		2	200
2		2.25	1400
	14	23	
			3300

S. E. V. P1-2

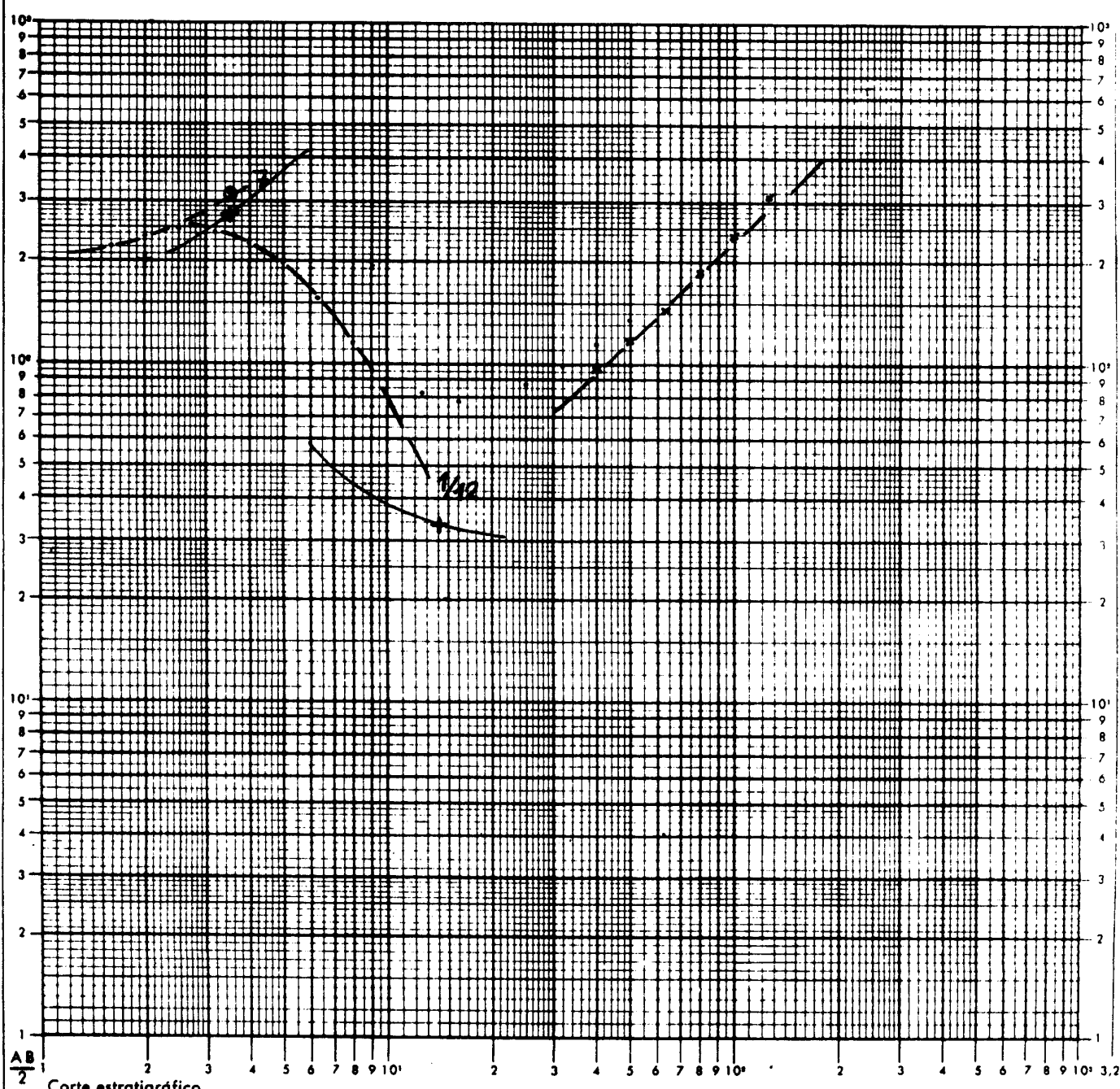
Datos:

Azimut de A-B: N-98°-E

Cota de superficie Z: _____

Coordenadas { X: _____

Lambert } Y: _____



I. G. M. E. DEPARTAMENTO DE GEOFISICA

Prospección en COMEYA - COVADONGA Fecha 16.7.87

Interpretación:

Capas	Espesores (m)	Z (m.)	Resistividades (Ω m)
1		1.2	169
2		5.6	260
		14	79
		60	265
			500

S. E. V. P1-3

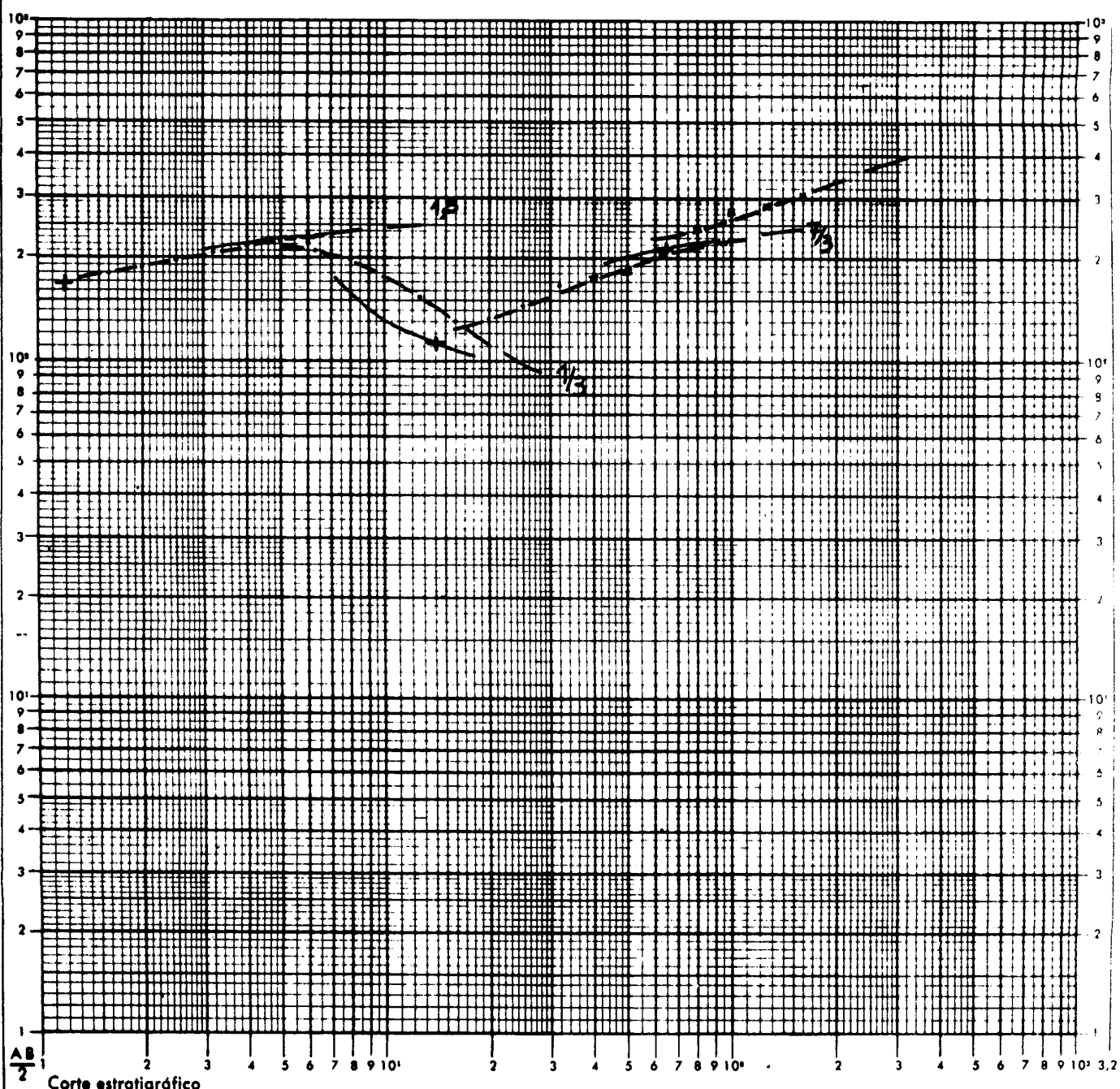
Datos:

Azimut de A-B: N-40°-W

Cota de superficie Z:

Coordenadas X:

Lambert Y:



I. G. M. E. DEPARTAMENTO DE GEOFISICA

Prospección en COMEYA - COVADONGA Fecha 16.7.87

Interpretación:

Capas	Espesores (m)	Z (m)	Resistividades ($\Omega \text{ m}$)
1		1.2	78
2		2	160
		6.3	44
		54	85
			∞

S. E. V. P2-1

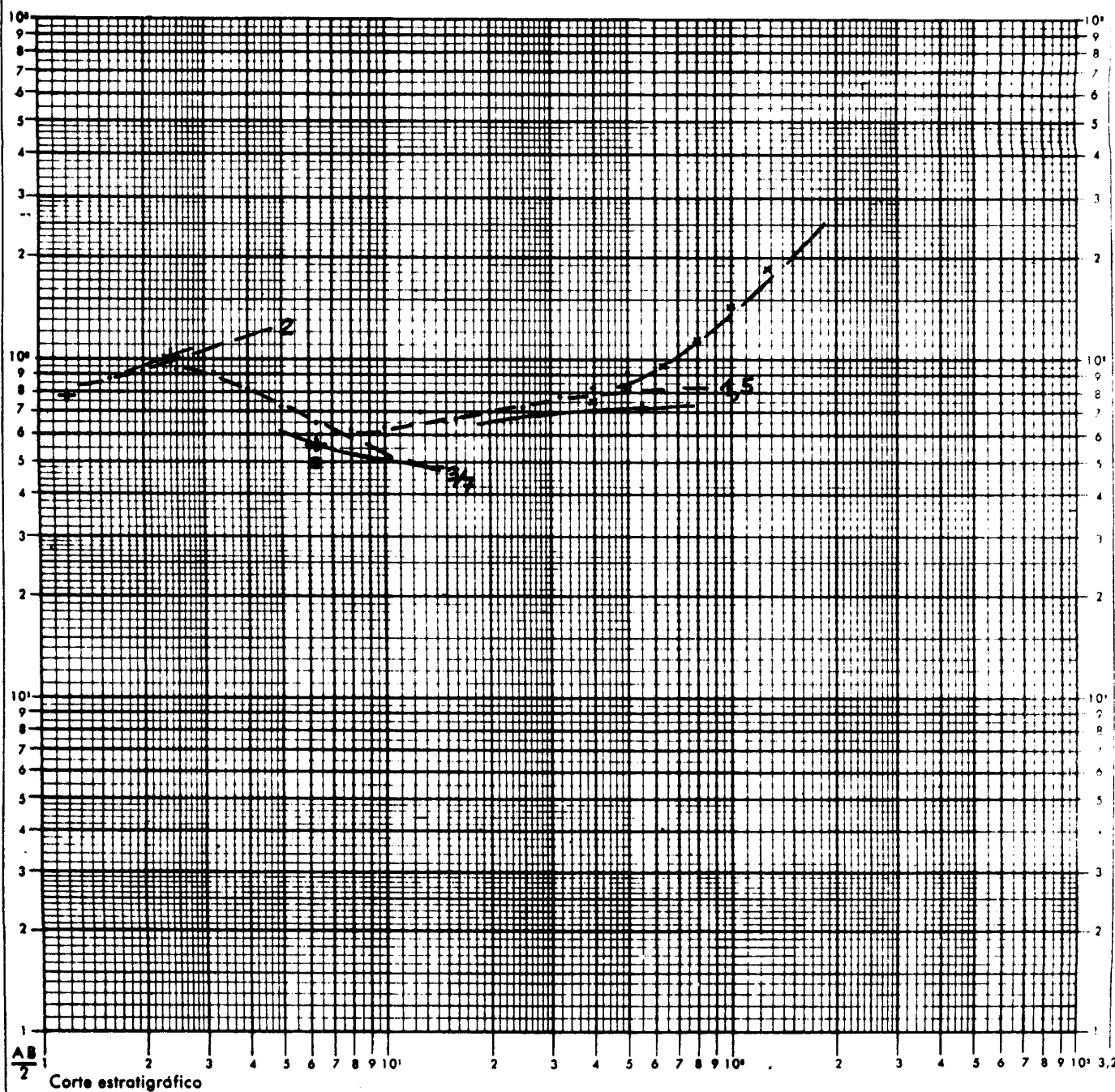
Datos:

Azimut de A B: N - 95° - E

Cota de superficie Z:

Coordenadas (X:

Lambert { Y:



I. G. M. E.

DEPARTAMENTO DE GEOFISICA

Prospección en COMEYA - COVADONGAFecha 16.7.87**Interpretación:**

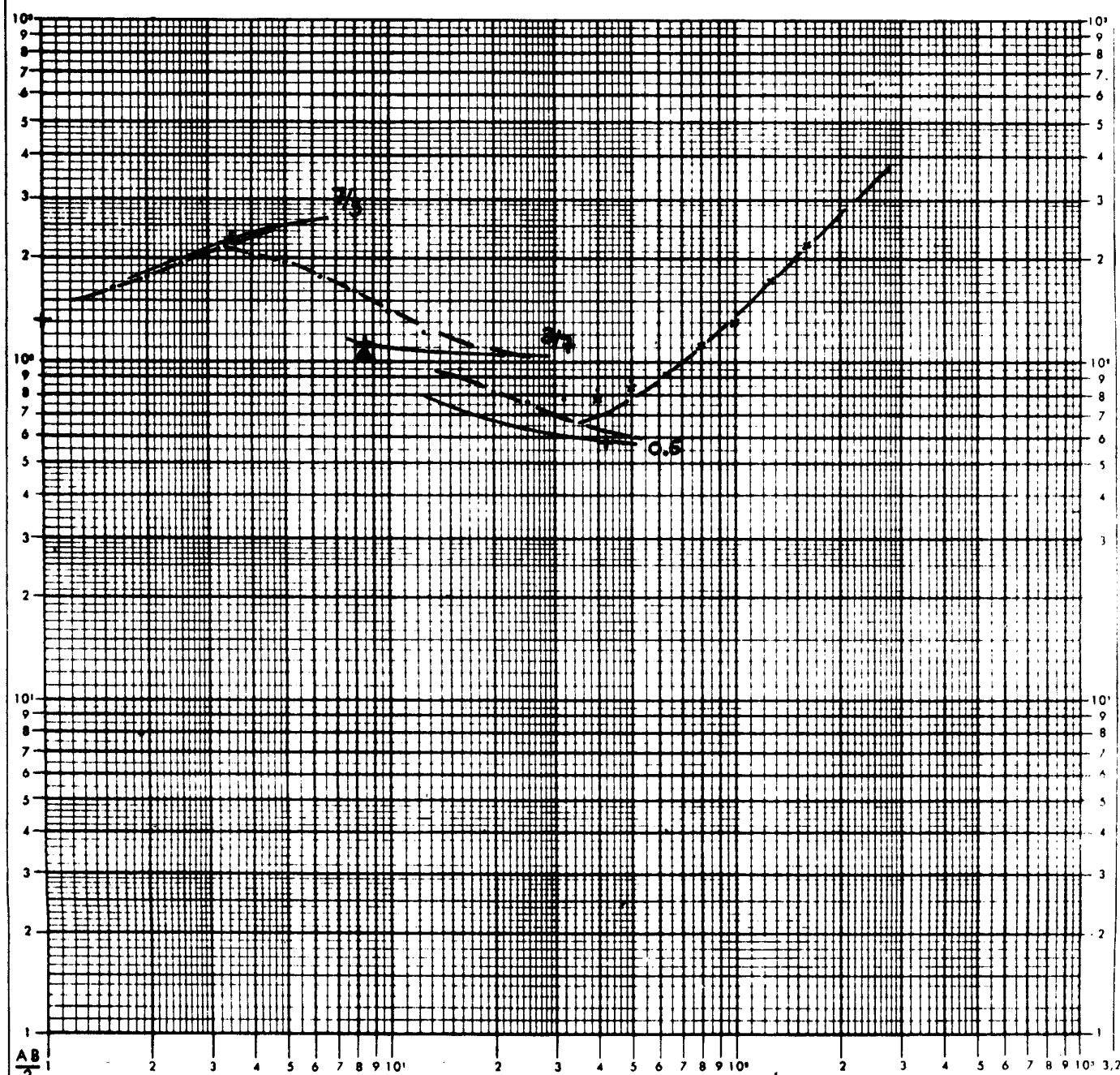
Capas	Espesores (m)	Z (m.)	Resistividades (Ω m)
1		1	133
2		2.8	320
		9.5	100
		42	57
			5800

S. E. V. P2-2**Datos:**Azimut de A-B: N-95°-E

Cota de superficie Z: _____

Coordenadas { X: _____

Lambert { Y: _____



Corte estratigráfico

I. G. M. E. DEPARTAMENTO DE GEOFISICA

Prospección en COMEYA - COVADONGA Fecha 16.7.87

Interpretación:

Capas	Espesores (m)	Z (m)	Resistividades (Ω m)
1		1.5	185
2		2.85	440
		38	69
			1400

S. E. V. P2-3

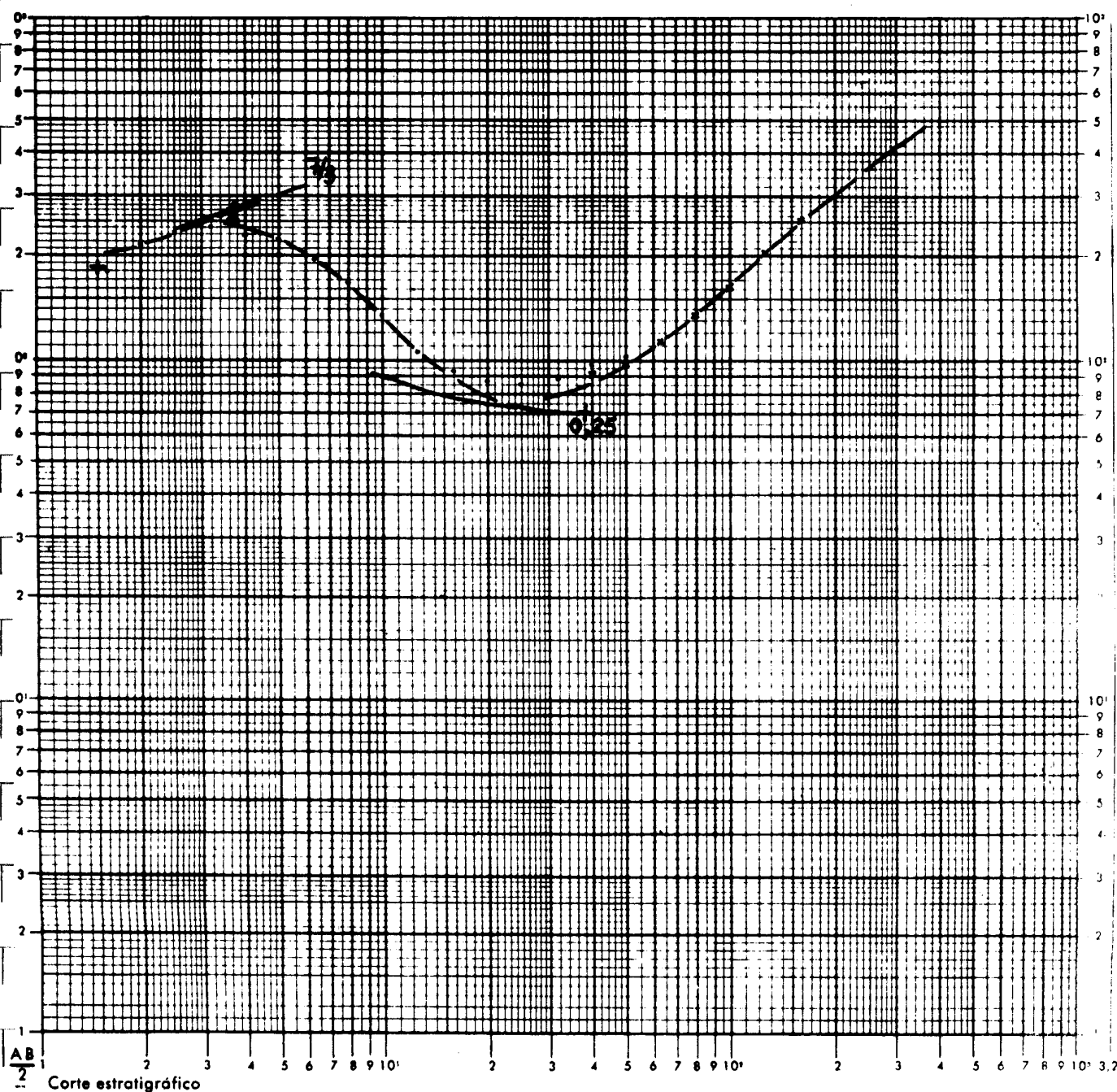
Datos:

Azimut de A-B: N-93°-E

Cota de superficie Z: _____

Coordenadas { X: _____

Lambert { Y: _____



Corte estratigráfico

I. G. M. E. DEPARTAMENTO DE GEOFISICA

Prospección en COMEYA-COVADONGA Fecha 16.7.87

Interpretación:

Capas	Espesores (m)	Z (m.)	Resistividades (Ω m)
1		1.2	140
2		2.4	210
		32	75
			1400

S. E. V. P2-4

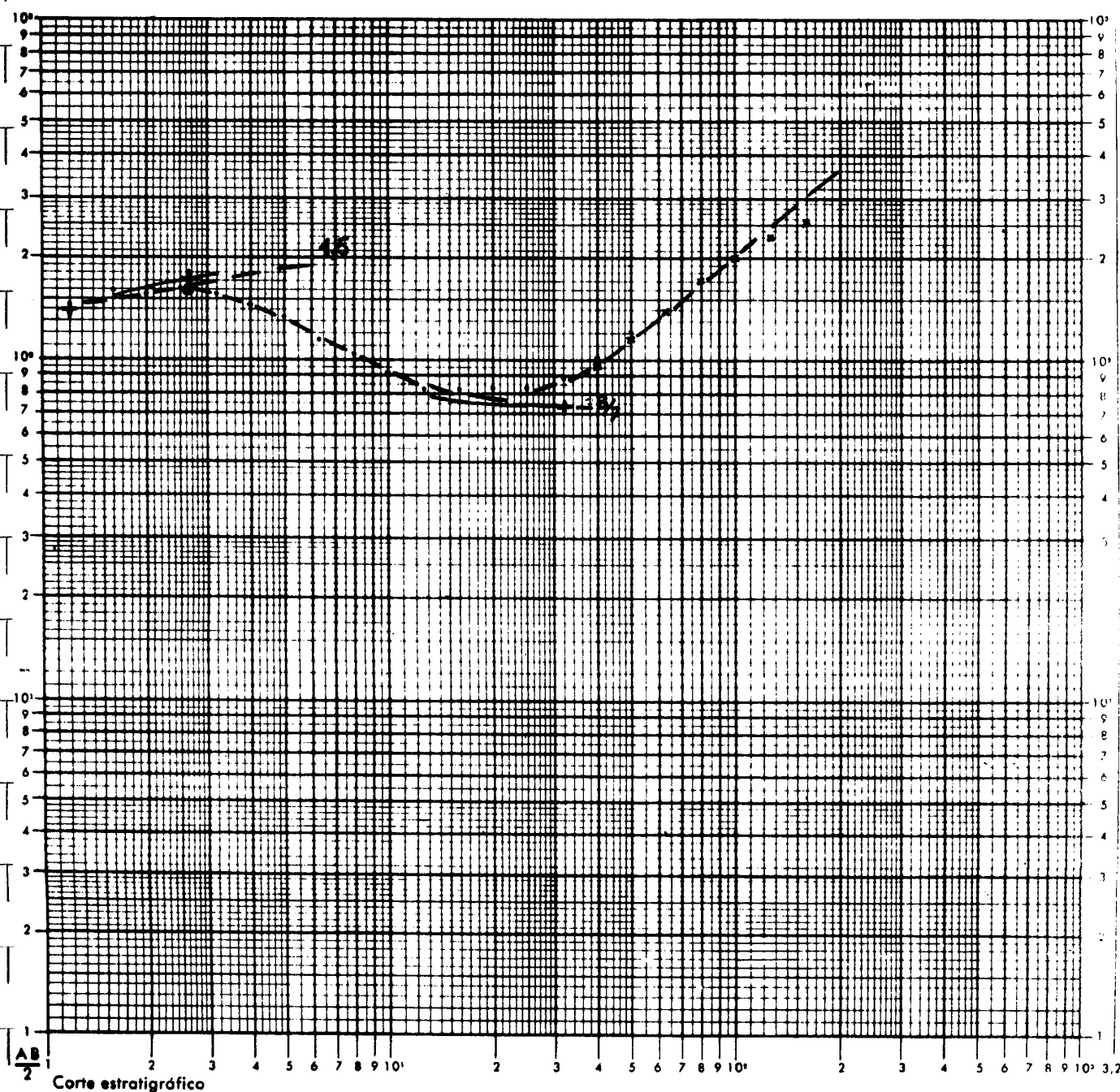
Datos:

Azimut de A-B: N-58°-W

Cota de superficie Z: _____

Coordenadas X: _____

Lambert Y: _____



I. G. M. E. DEPARTAMENTO DE GEOFISICA

Prospección en COMEYA - COVADONGA Fecha 15.7.87

Interpretación:

Capas	Espesores (m)	Z (m.)	Resistividades (Ω m)
1		1.1	30
2		2	72
		9.8	44
		42	67
			∞

S. E. V. P3-1

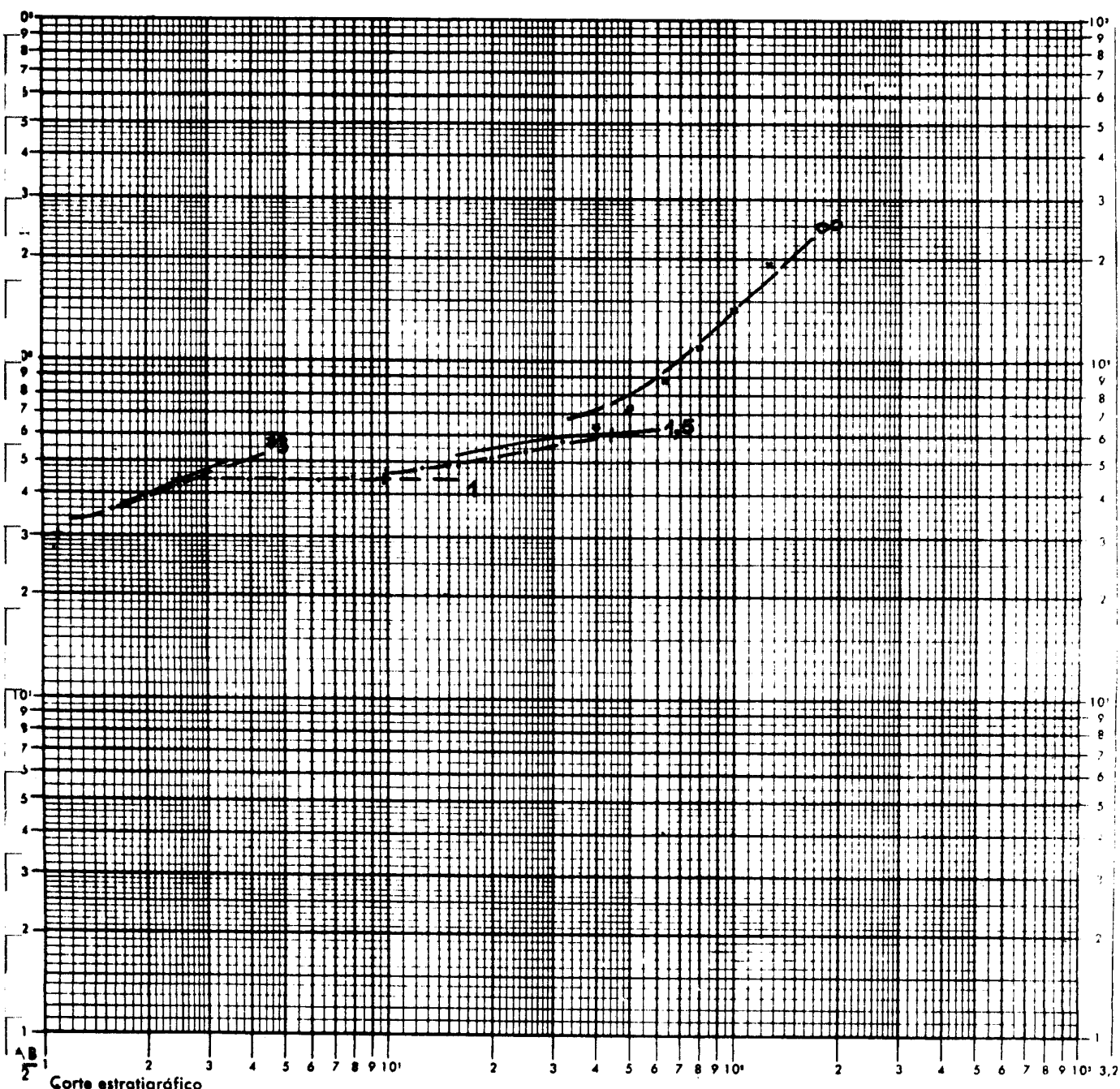
Datos:

Azimut de A-B: N-90°-E

Cota de superficie Z: _____

Coordenadas X: _____

Lambert Y: _____



I. G. M. E. DEPARTAMENTO DE GEOFISICA

Prospección en COMEYA-COVADONGA Fecha 15.7.87

Interpretación:

Capas	Espesores (m)	Z (m.)	Resistividades ($\Omega \text{ m}$)
1		1.2	340
2		2.15	18
	110		80
			∞

S. E. V. P3-2

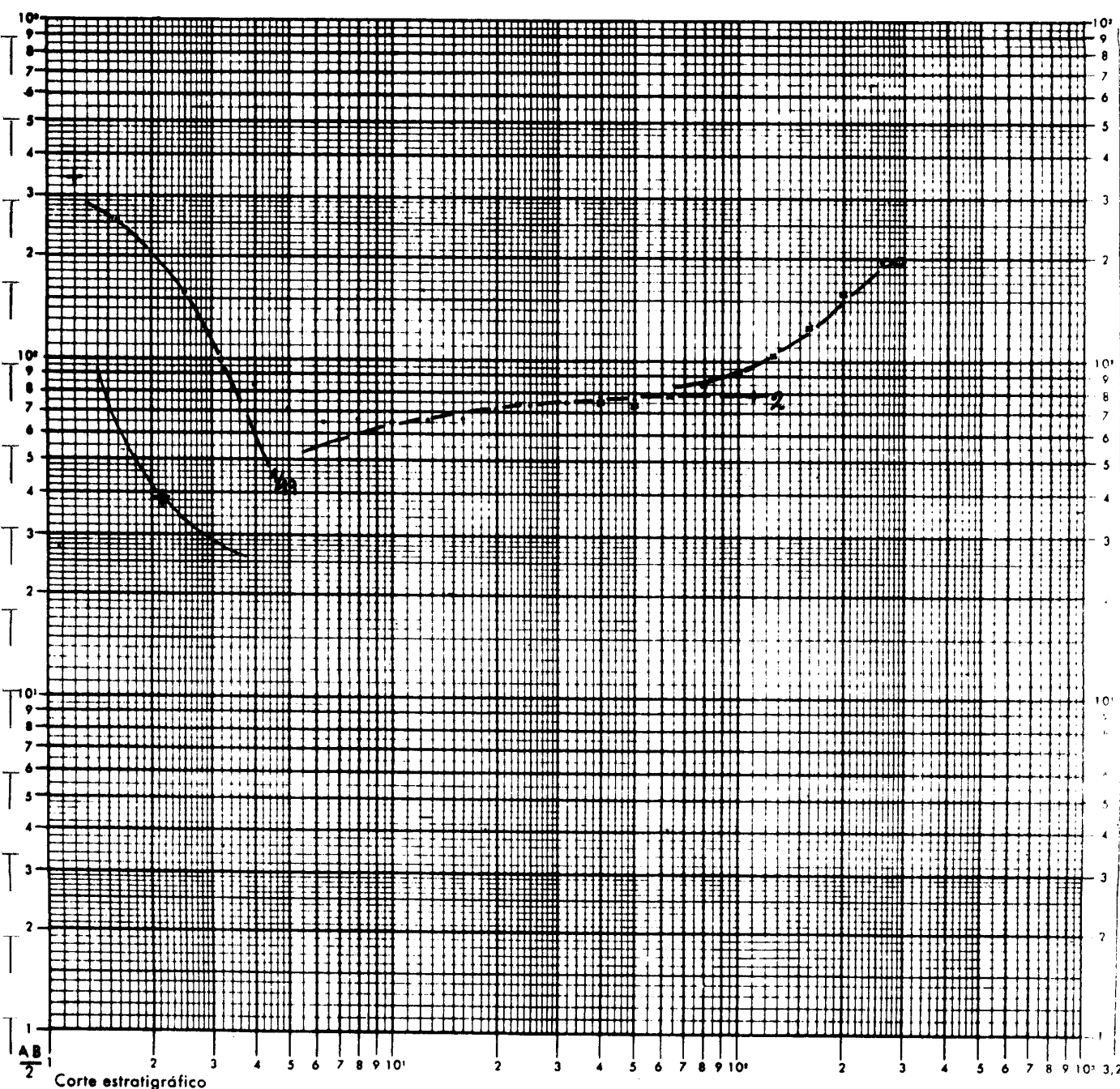
Datos:

Azimut de A-B: N-95°-E

Cota de superficie Z: _____

Coordenadas { X: _____

Lambert { Y: _____



I. G. M. E. DEPARTAMENTO DE GEOFÍSICA

Prospección en COMEYA-COVADONGA Fecha 15.7.87

Interpretación:

Capas	Espesores (m)	Z (m.)	Resistividades (Ω m)
1		2.1	110
2		6	220
		130	116
			∞

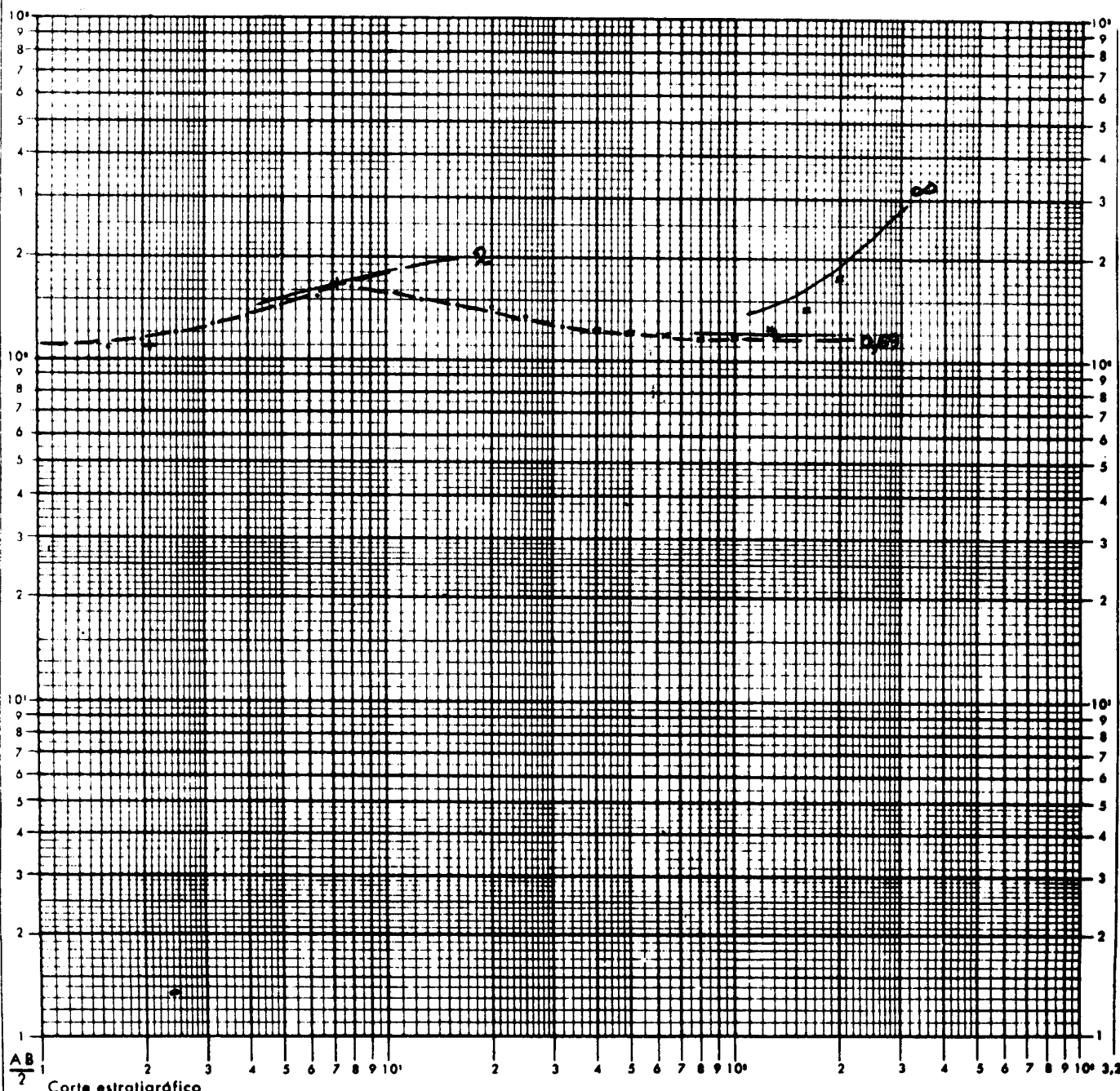
S. E. V. P3-3

Datos:

Azimut de A B: N-95°-E

Cota de superficie Z:

Coordenadas (X: _____



I. G. M. E. DEPARTAMENTO DE GEOFISICA

Prospección en COMEYA - COVADONGA Fecha 15.7.87

S. E. V. P3-4

Interpretación:

Capas	Espesores (m)	Z (m.)	Resistividades (Ω m)
1		1.3	370
2		1.55	20
		15	305
		150	117
			∞

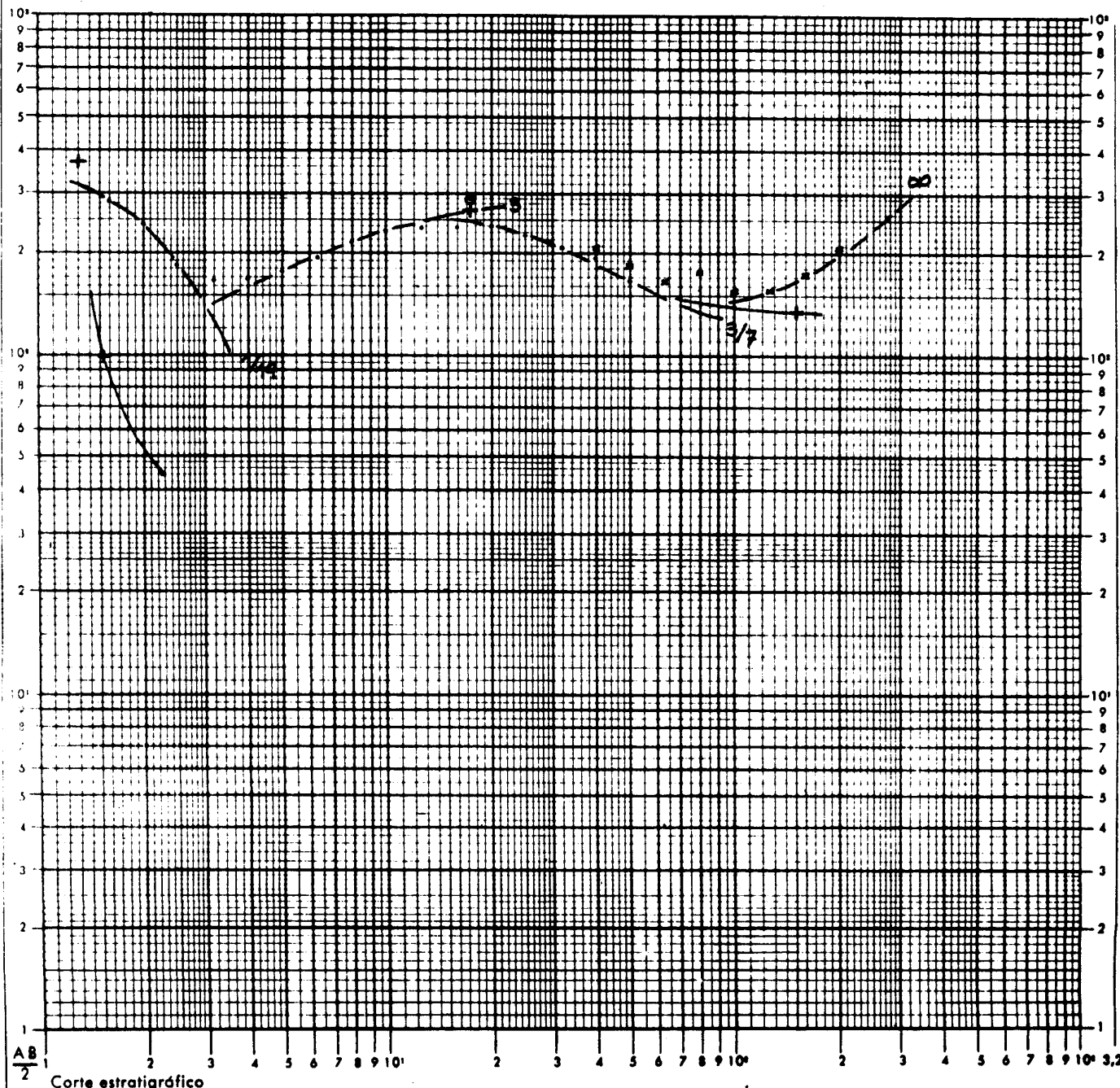
Datos:

Azimut de A B: N-95°-E

Cota de superficie Z:

Coordenadas X:

Lambert } Y:



I. G. M. E. DEPARTAMENTO DE GEOFISICA

Prospección en COMEYA-COVADONGA Fecha 15.7.87

Interpretación:

Capas	Espesores (m)	Z (m.)	Resistividades (Ω m)
1	1	1	69
2	11.3	12.3	208
	44.7	57	82
1400			

S. E. V. P3-5

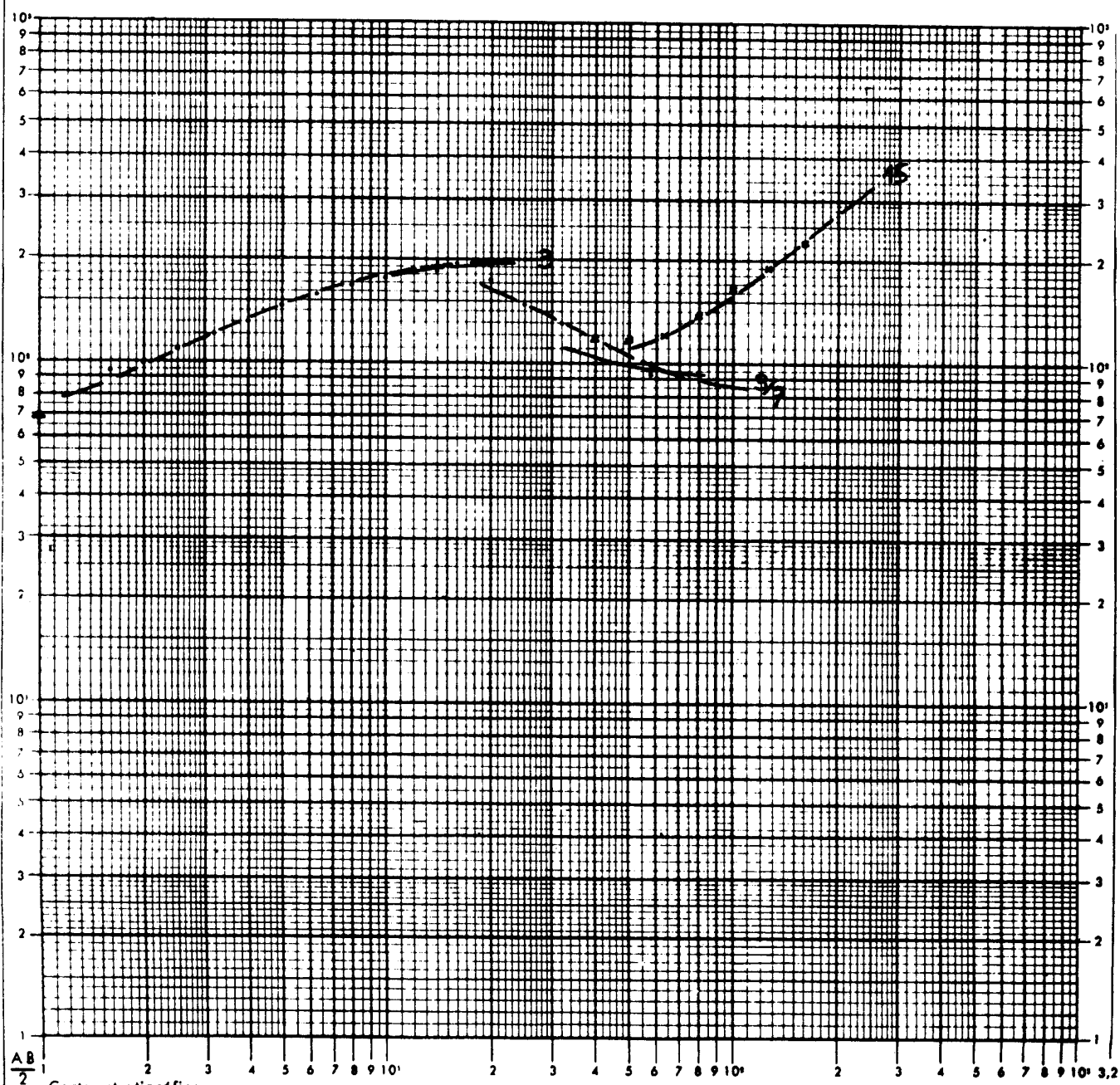
Datos:

Azimut de A-B: N-97°-E

Cota de superficie Z: _____

Coordenadas { X: _____

Lambert { Y: _____



I. G. M. E. DEPARTAMENTO DE GEOFISICA

Prospección en COMEYA - COVADONGA Fecha 14.7.87

Interpretación:

Capas	Espesores (m)	Z (m.)	Resistividades ($\Omega \text{ m}$)
1	3	3	39
2	87	90	55
			1100

S. E. V. P4-1

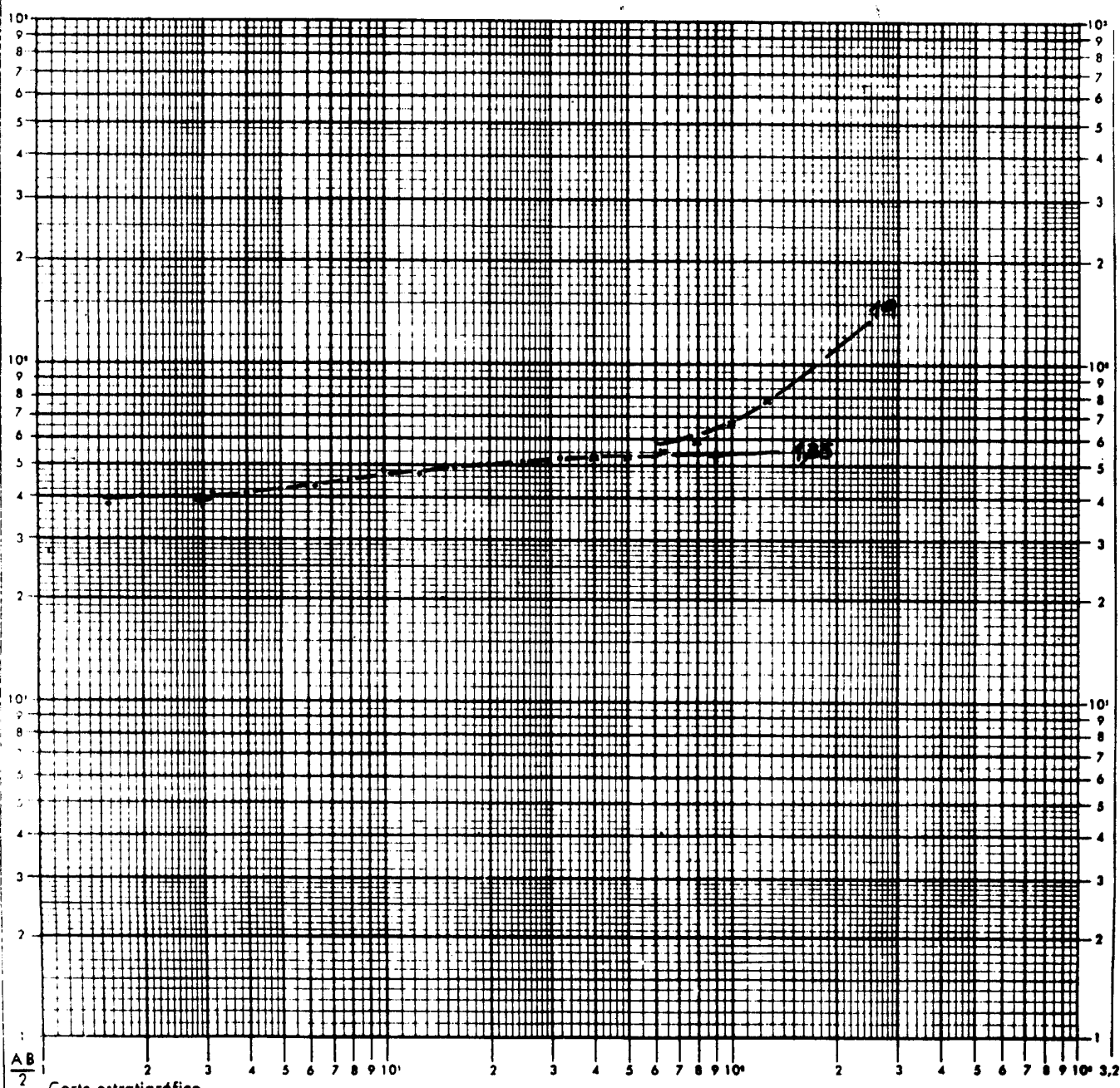
Datos:

Azimut de A B: N-34°-W

Cota de superficie Z: _____

Coordenadas (X: _____)

Lambert Y: _____



I. G. M. E. DEPARTAMENTO DE GEOFISICA

Prospección en COMEYA-COVADONGA Fecha 14.7.87

Interpretación:

Capas	Espesores (m)	Z (m.)	Resistividades (Ω m)
1	1.25	1.25	268
2	9.35	10.6	54
	8.1	18.7	242
	106.3 126.3	125 145	78
			1600 1400

S. E. V. P4-2

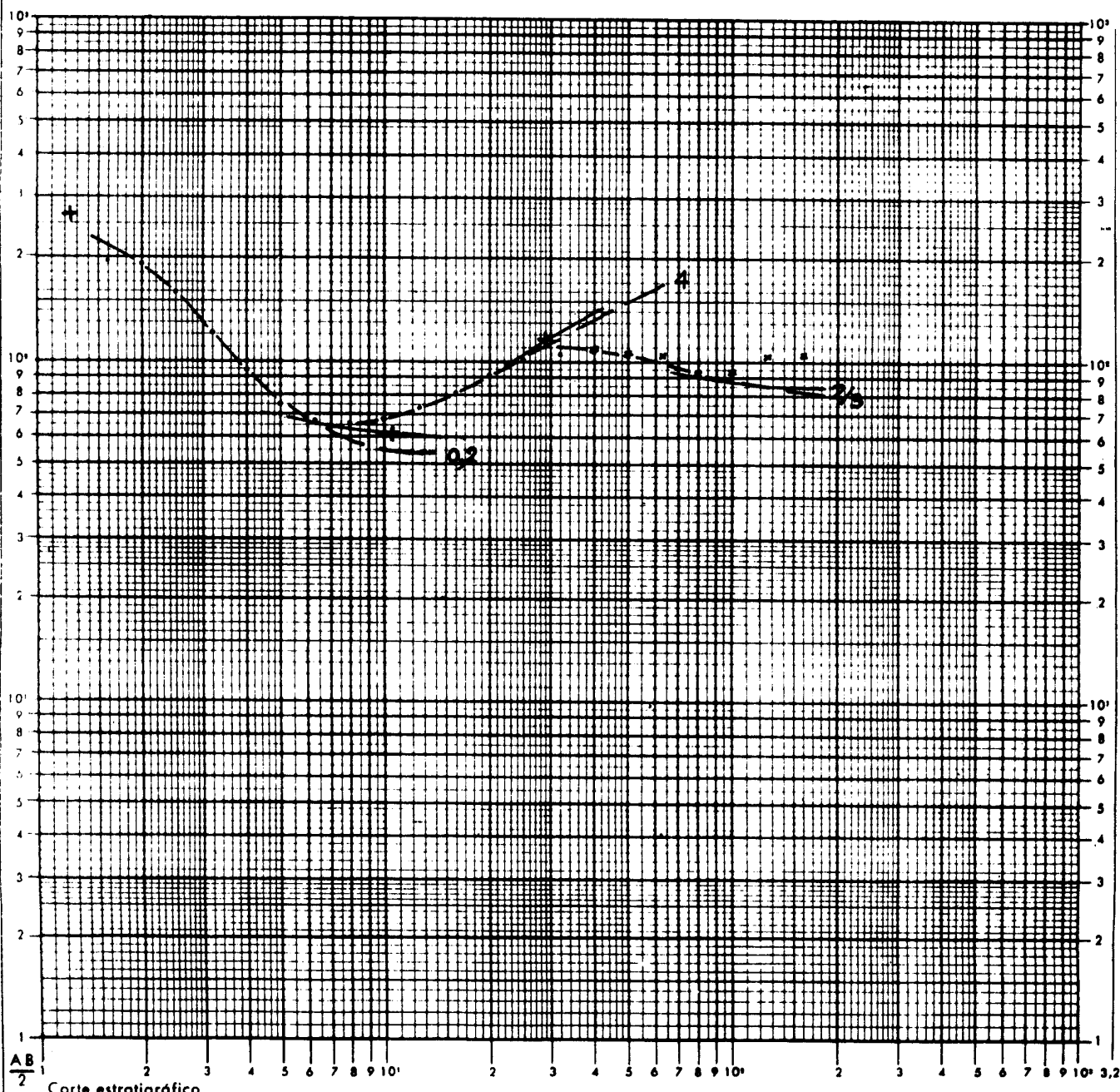
Datos:

Azimut de A-B: N-95°-E

Cota de superficie Z: _____

Coordenadas X: _____

Lambert Y: _____



Corte estratigráfico

I. G. M. E. DEPARTAMENTO DE GEOFISICA

Prospección en COMEYA - COVADONGA Fecha 14.7.87

Interpretación:

Capas	Espesores (m)	Z (m.)	Resistividades (Ω m)
1	2.2	2.2	40
2	8.4	10.6	360
	14.4	25	68
	19	44	240
76	106	136	120
			150
			180
			128
			185
			280
			550

S. E. V. P4-3

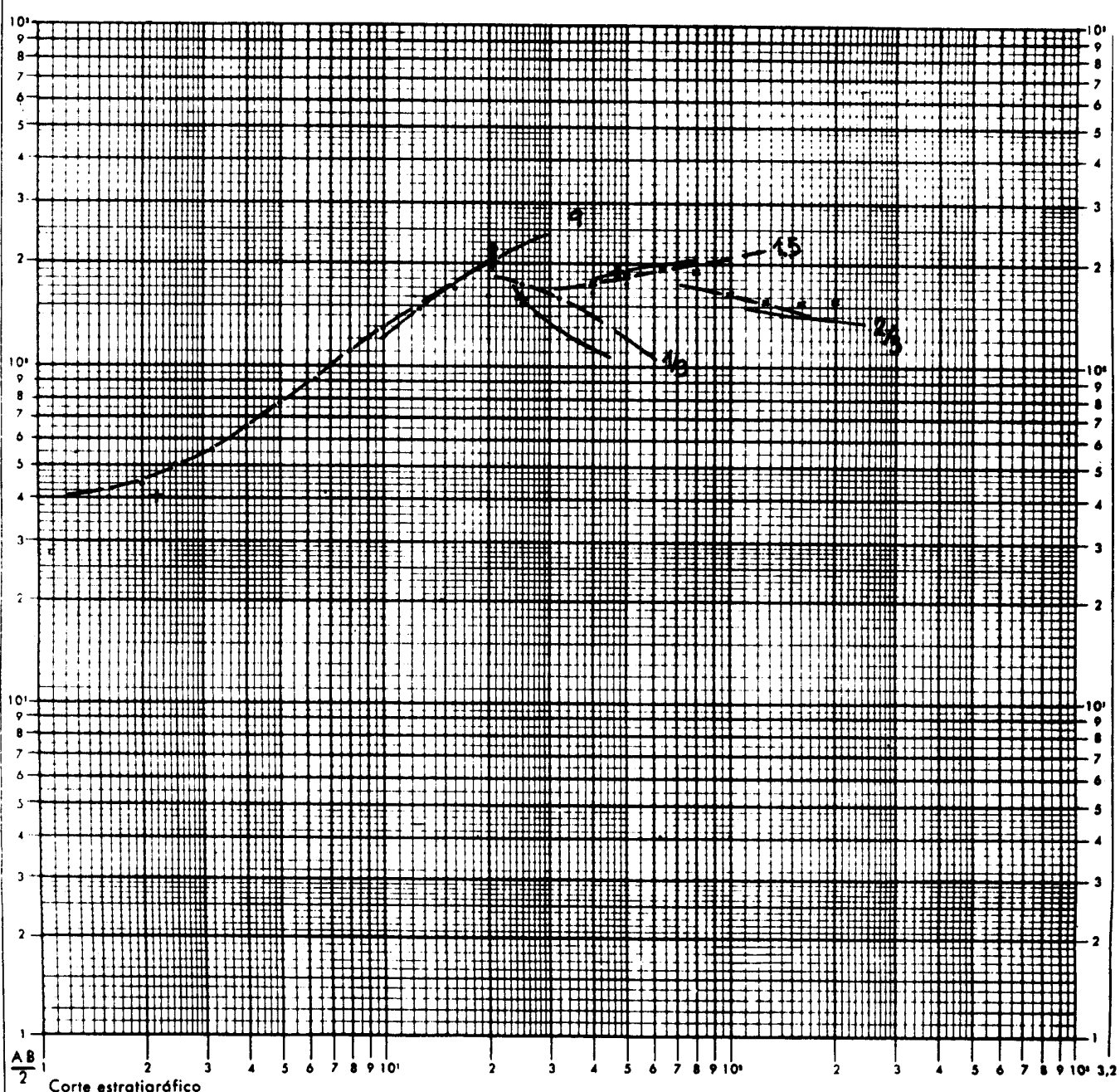
Datos:

Azimut de A-B: N-100°-E

Cota de superficie Z: _____

Coordenadas X: _____

Lambert Y: _____



Corte estratigráfico

I. G. M. E. DEPARTAMENTO DE GEOFISICA

Prospección en COMEYA-COVADONGA Fecha 15.7.87

Interpretación:

Capas	Espesores (m)	Z (m.)	Resistividades (Ω m)
1	1.1	1.1	455
2	8.9	10	200
	2.5	12.5	870
	16.5	29	205
	26	55	700
			438

S. E. V. P4-4

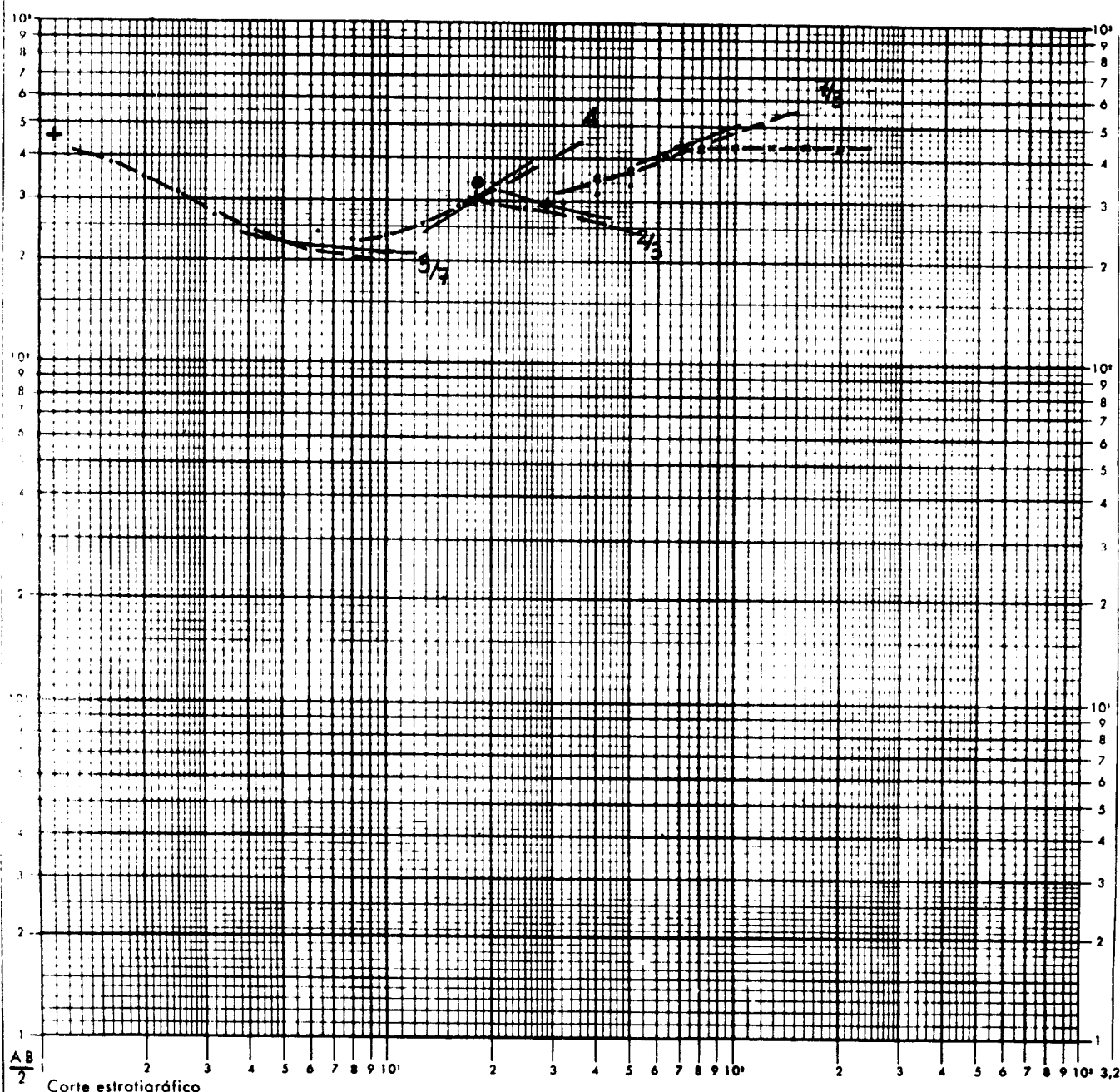
Datos:

Azimut de A B: N-95°-E

Cota de superficie Z: _____

Coordenadas X: _____

Lambert Y: _____



I. G. M. E. DEPARTAMENTO DE GEOFISICA

Prospección en COMEYA-COVADONGA Fecha 16.9.89**S. E. V. P5-1**

Interpretación:

Capas	Z(m)			Espesores (m)			Resistividades (Ω m)		
	(A)	(B)	(C)	(A)	(B)	(C)	181	160	160
1	1.15	1.3	1.4				15	33	18
2	1.30	1.9	1.7				90	95	94
	16.5	17	16.2				360	380	365
22	22	21.5					36	36	36
80	80	75					650	600	600

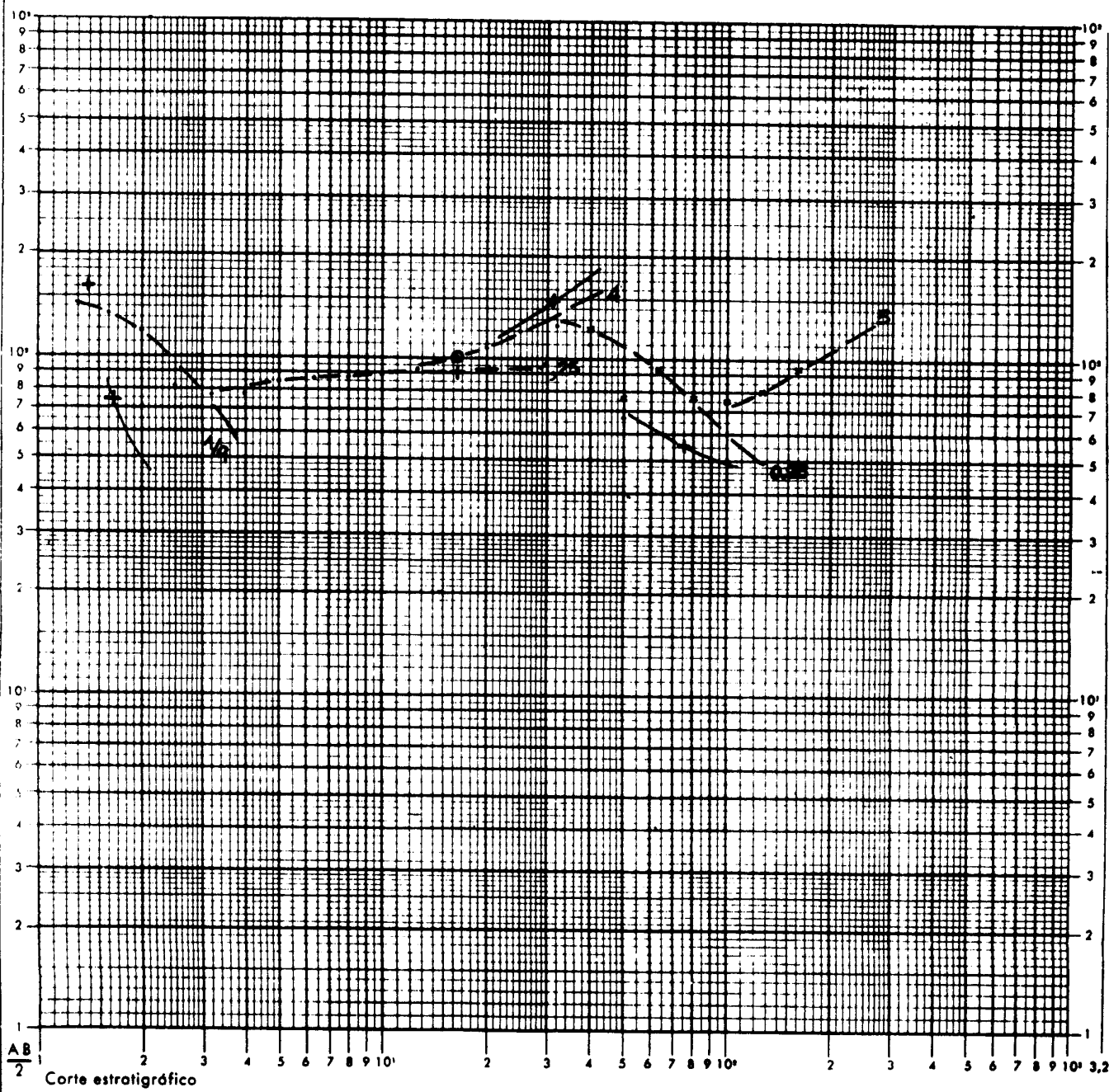
Datos:

Azimut de A-B: N-67-E

Cota de superficie Z: _____

Coordenadas { X: _____

Lambert { Y: _____



I. G. M. E. DEPARTAMENTO DE GEOFISICA

Prospección en COMEYA - COVADONGA Fecha 16.9.87

Interpretación:

Capas	Espesores (m)	Z (m.)	Resistividades (Ω m)
1	1.2	1.2	92
2	2.5	3.7	220
	9.5	13.2	131
	13.8	27	15
			520

S. E. V. P5-2

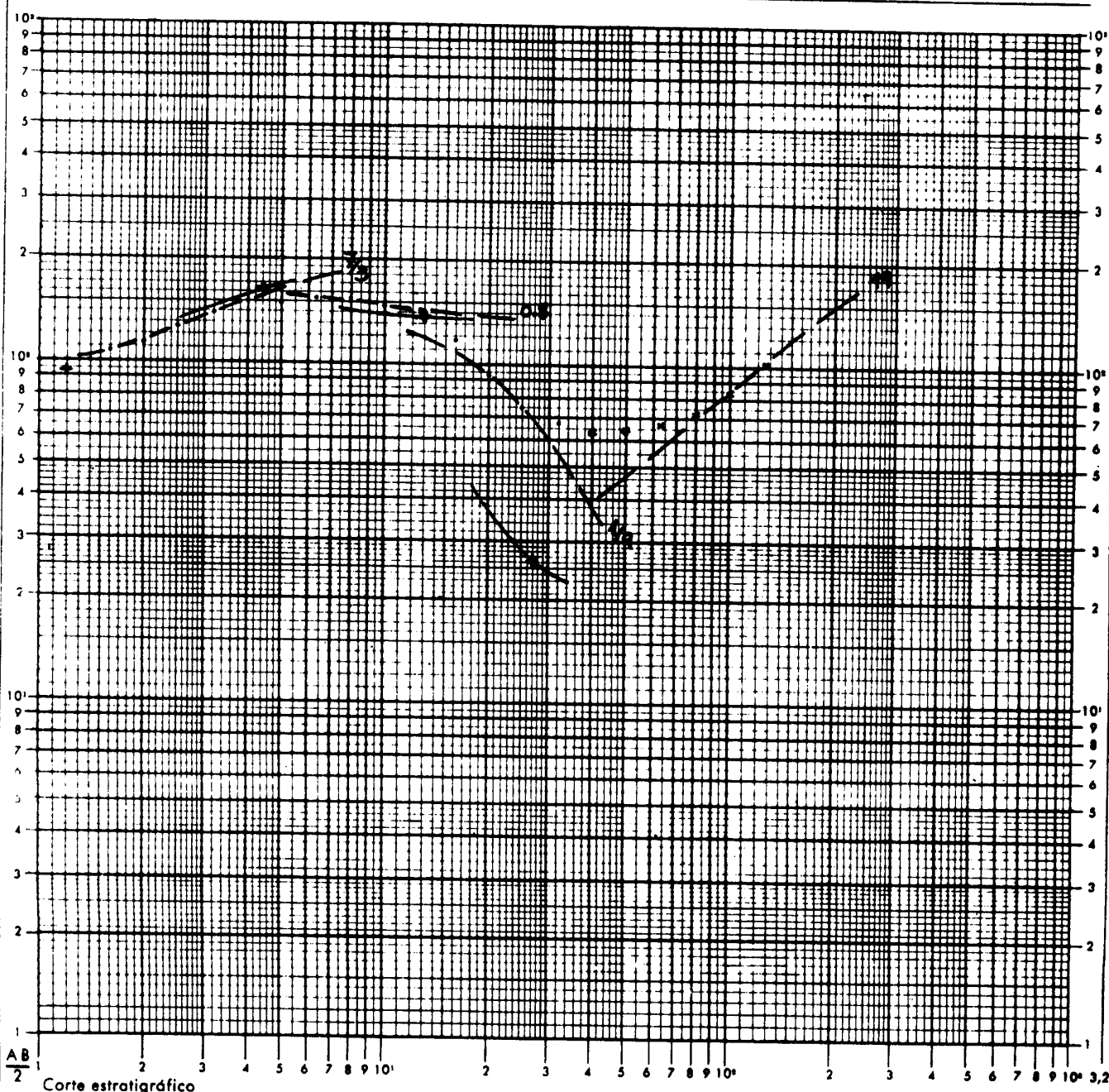
Datos:

Azimut de A-B: N-94°-E

Cota de superficie Z: _____

Coordenadas { X: _____

Lambert { Y: _____



Corte estratigráfico

I. G. M. E. DEPARTAMENTO DE GEOFISICA

Prospección en COMEYA-COVADONGA Fecha 16.9.87

Interpretación:

Capas	Espesores (m)	Z (m.)	Resistividades (Ω m)
1	1	1	57
2	4.5	5.5	230
	59.5	65	58
			∞

S. E. V. P5-3

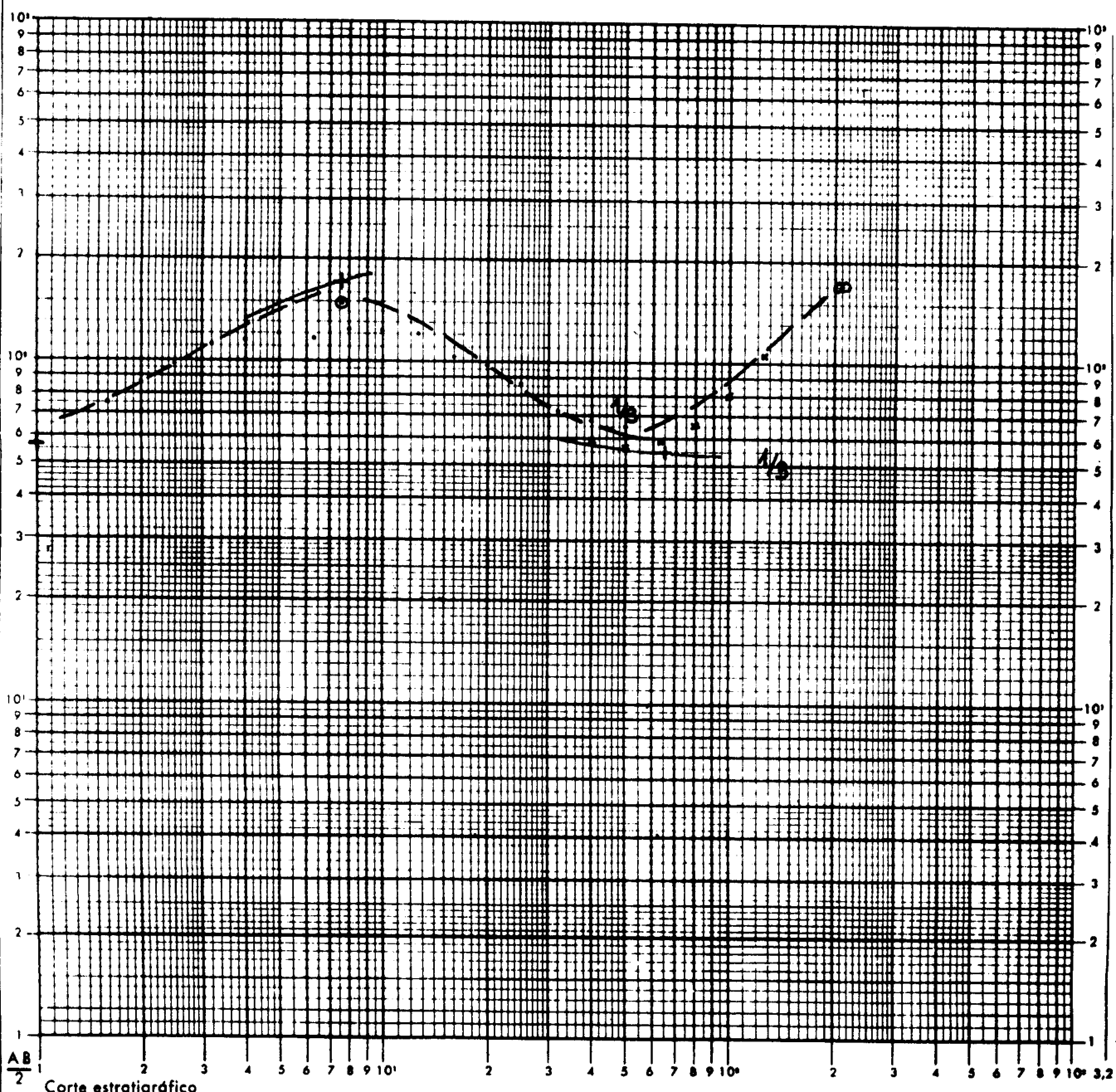
Datos:

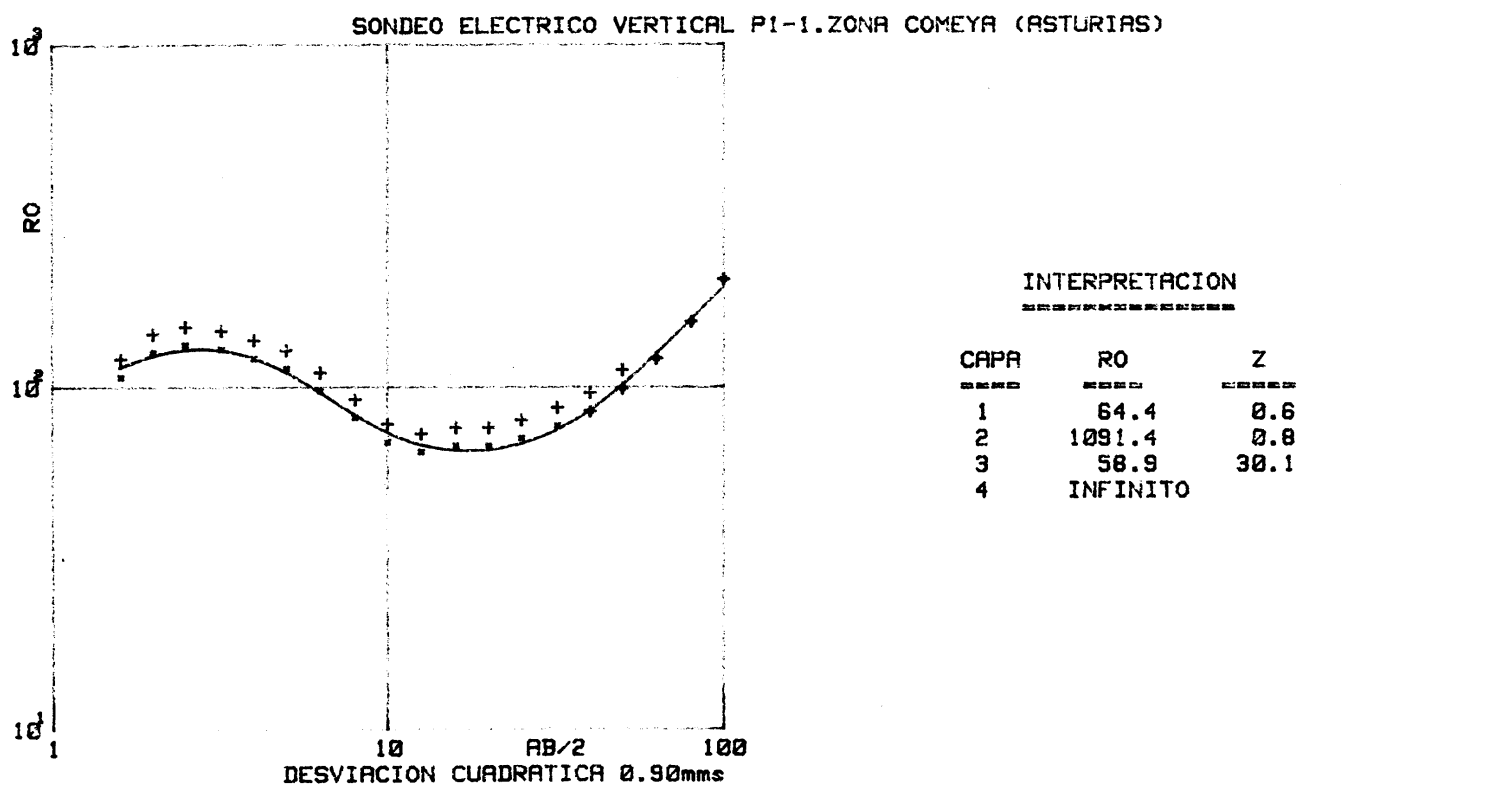
Azimut de A-B: N-92°-E

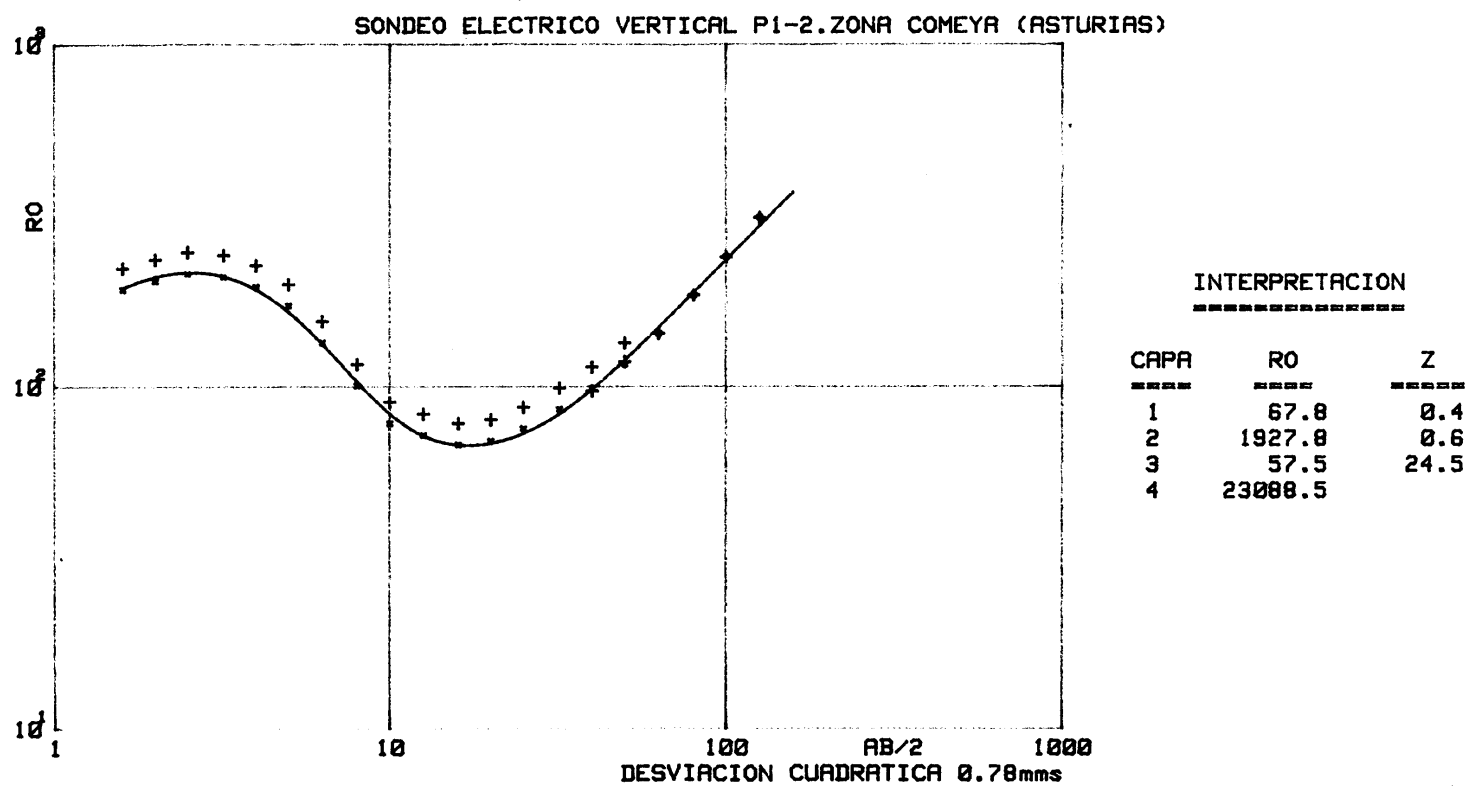
Cota de superficie Z: _____

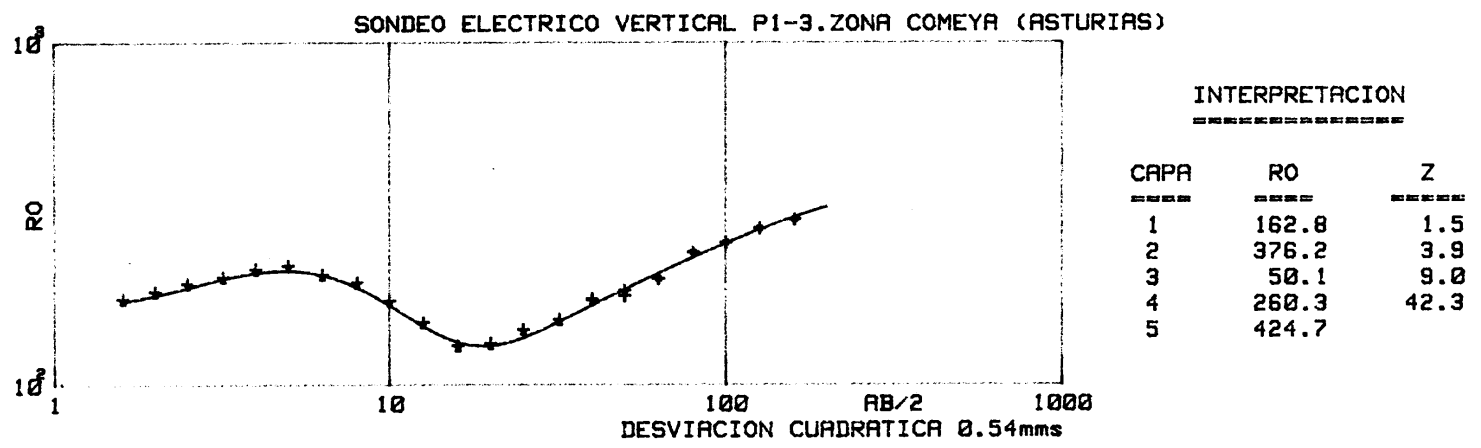
Coordenadas X: _____

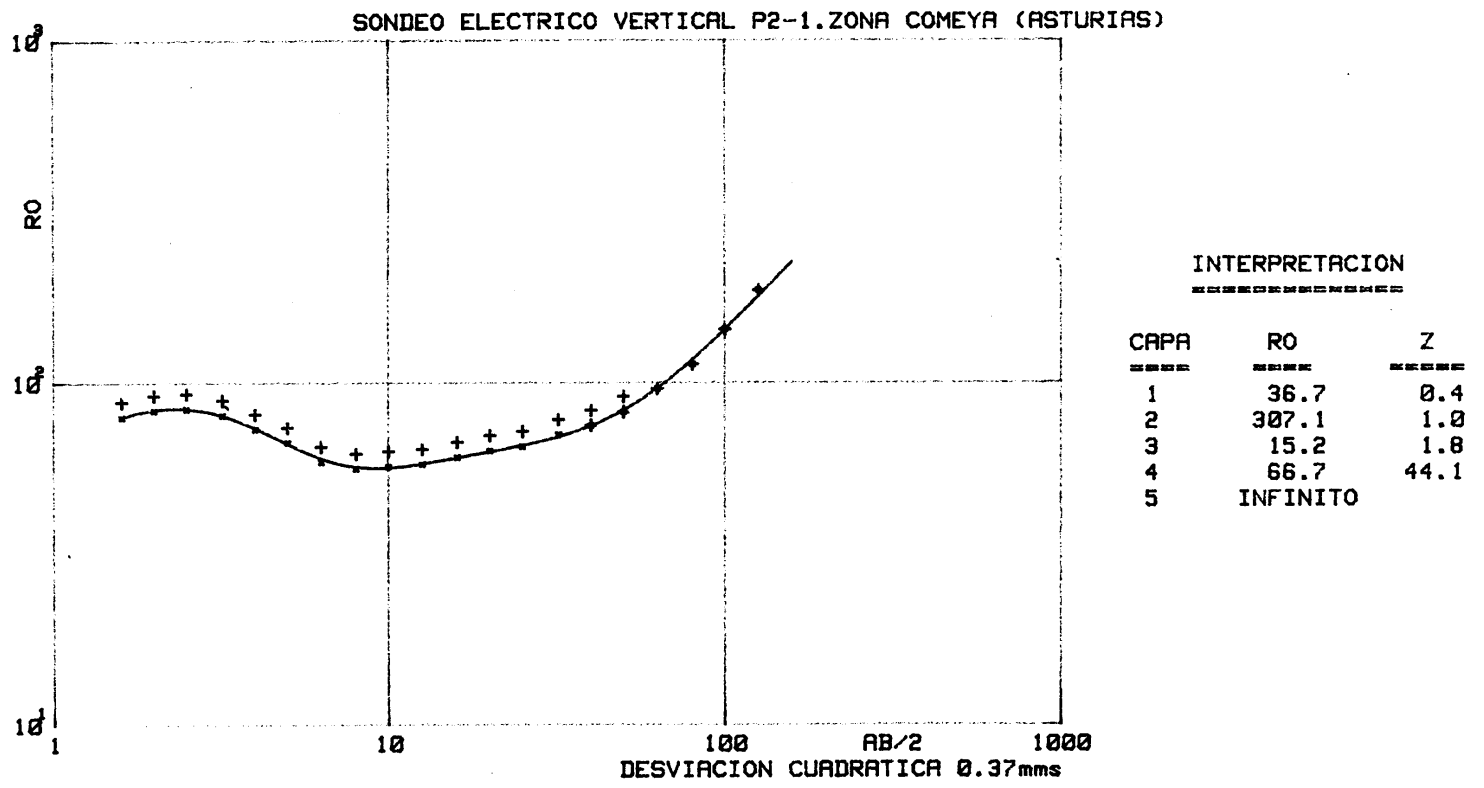
Lambert Y: _____

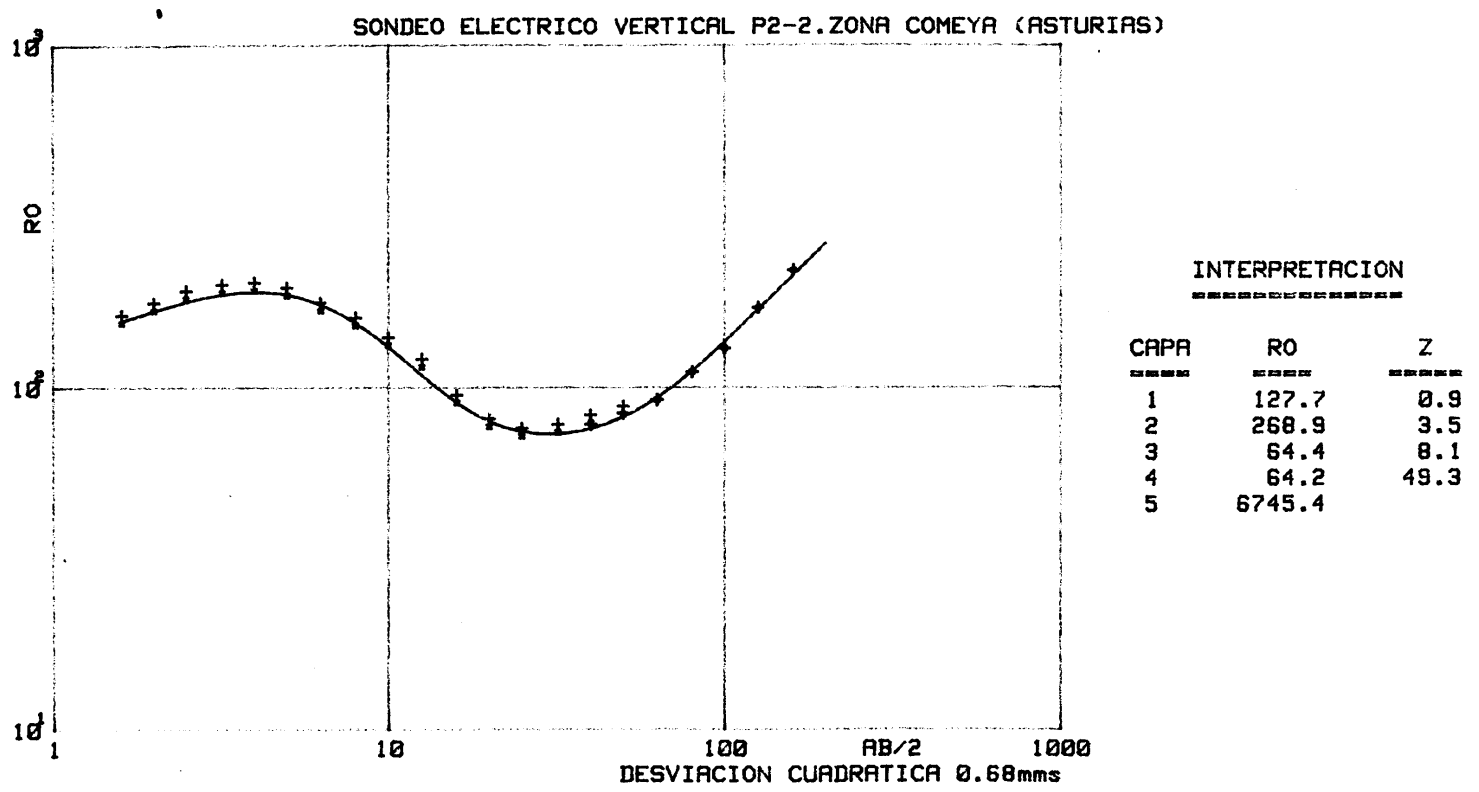




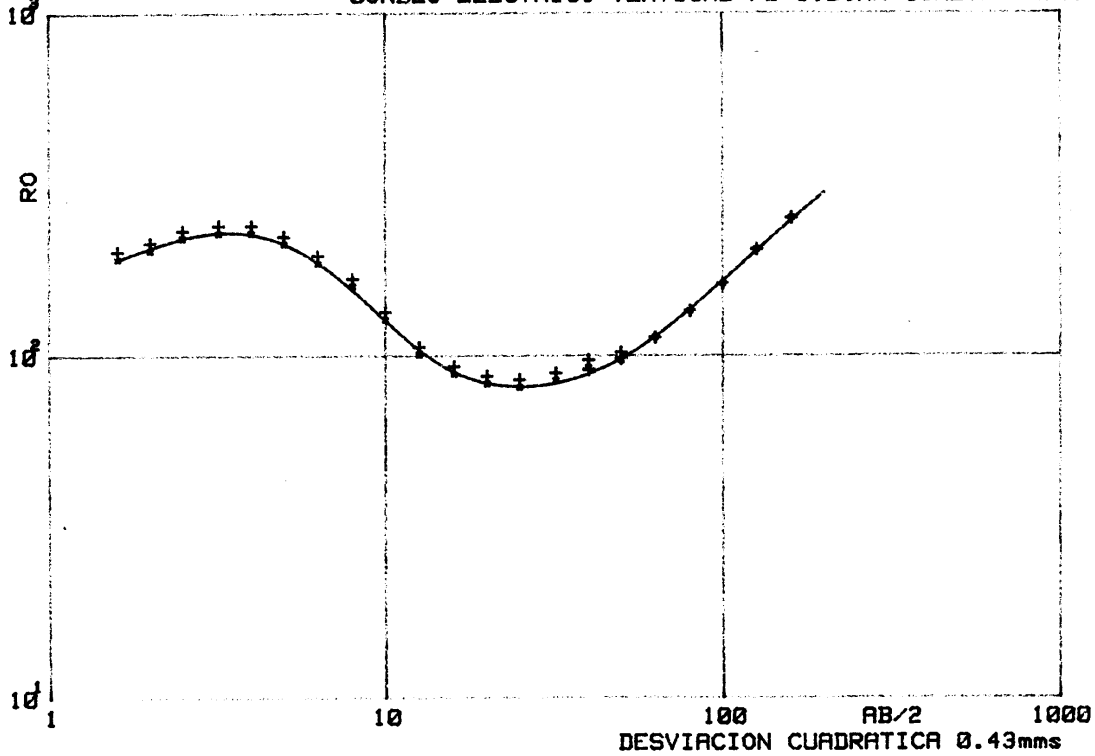








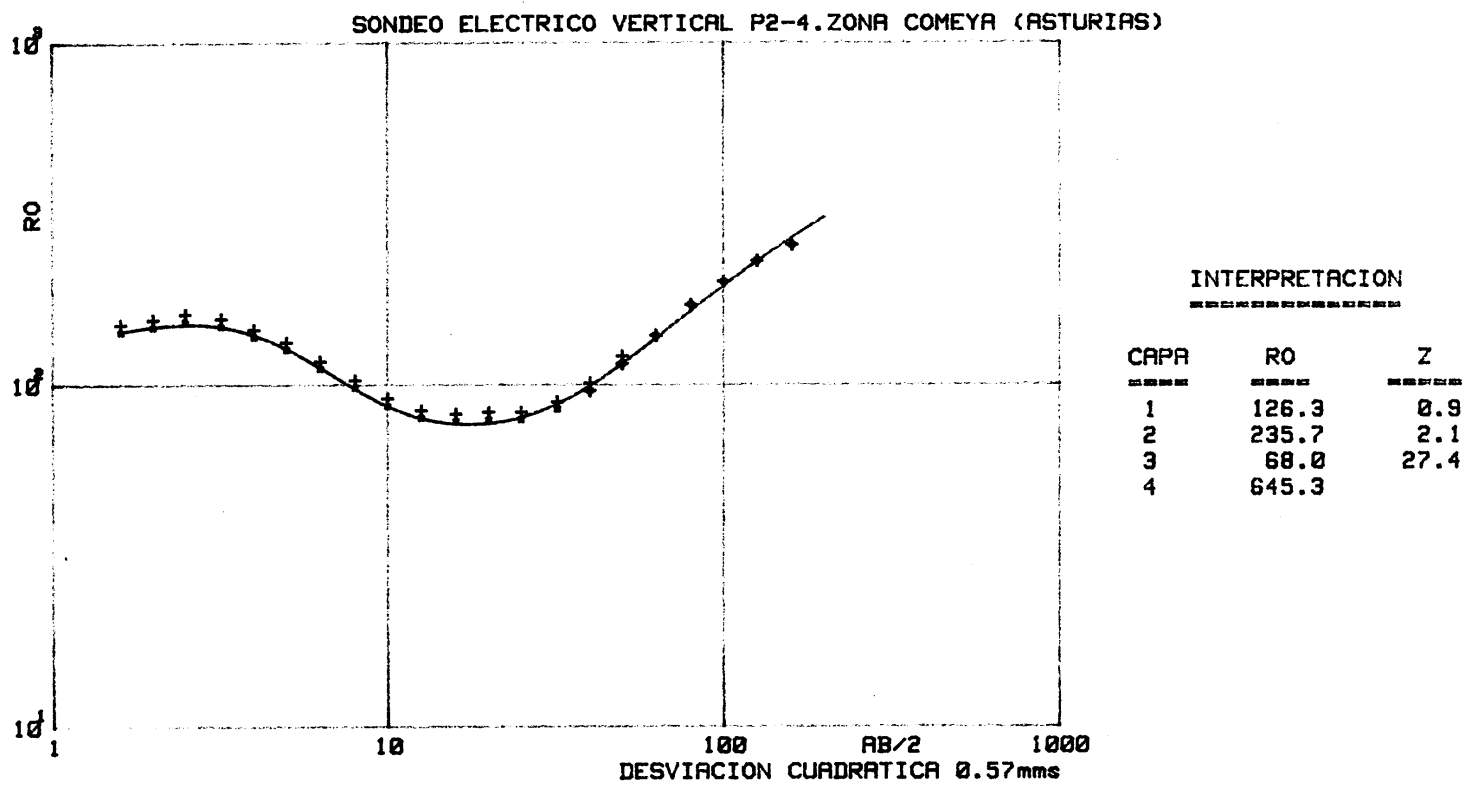
SONDEO ELECTRICO VERTICAL P2-3.ZONA COMEYA (ASTURIAS)

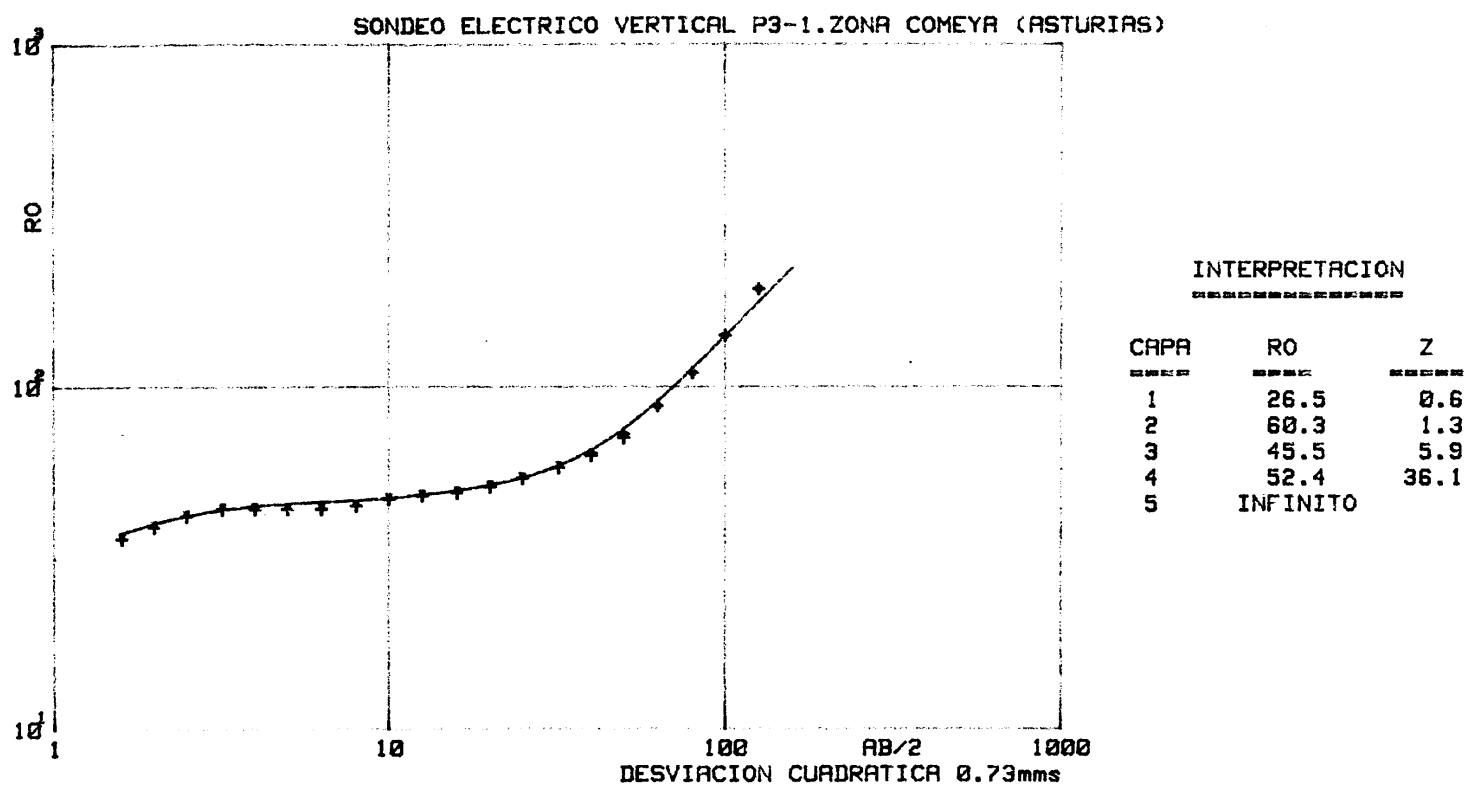


INTERPRETACION

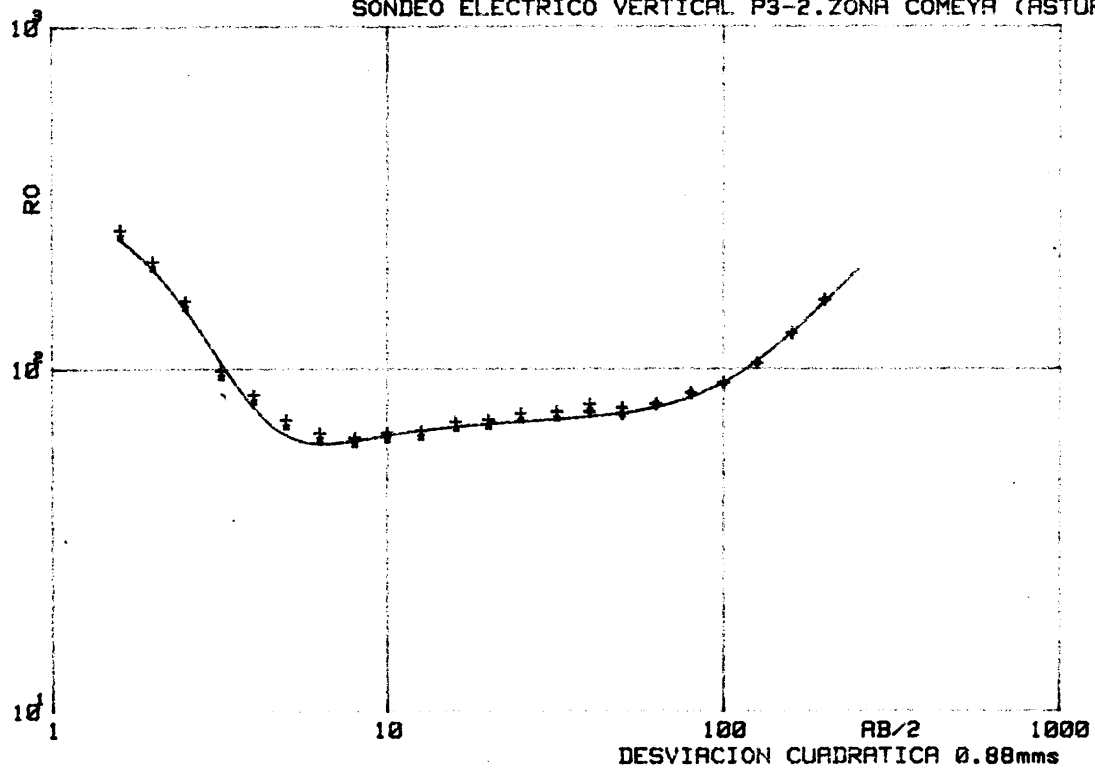
CAPA	ρ	Z
1	150.0	0.9
2	526.9	2.1
3	72.7	41.5
4	1493.2	

DESVIACION CUADRATICA 0.43mms





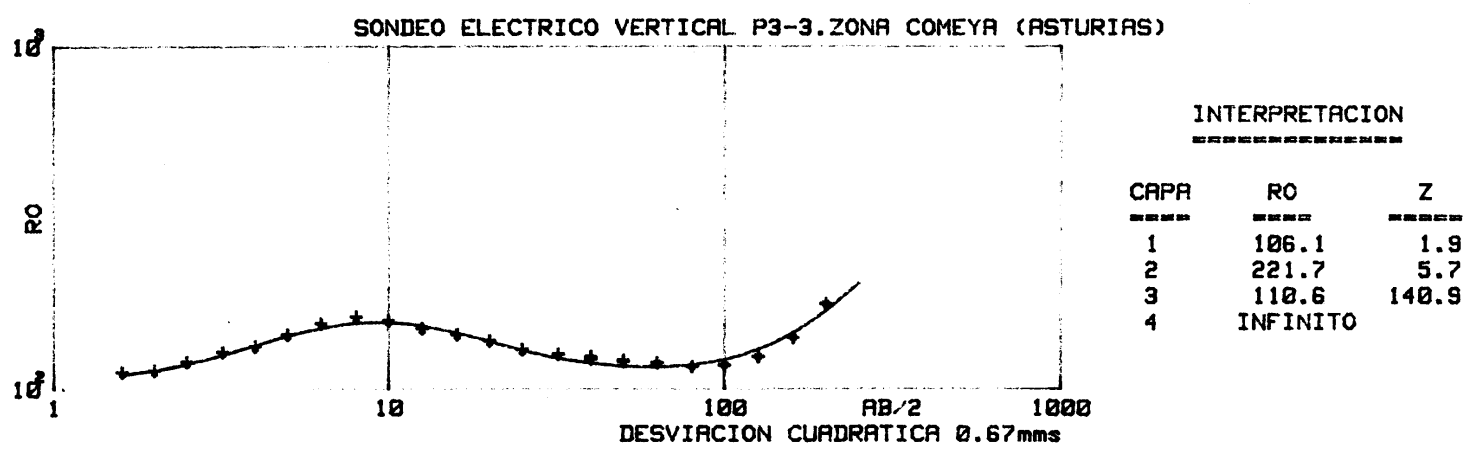
SONDEO ELECTRICO VERTICAL P3-2.ZONA COMEYA (ASTURIAS)



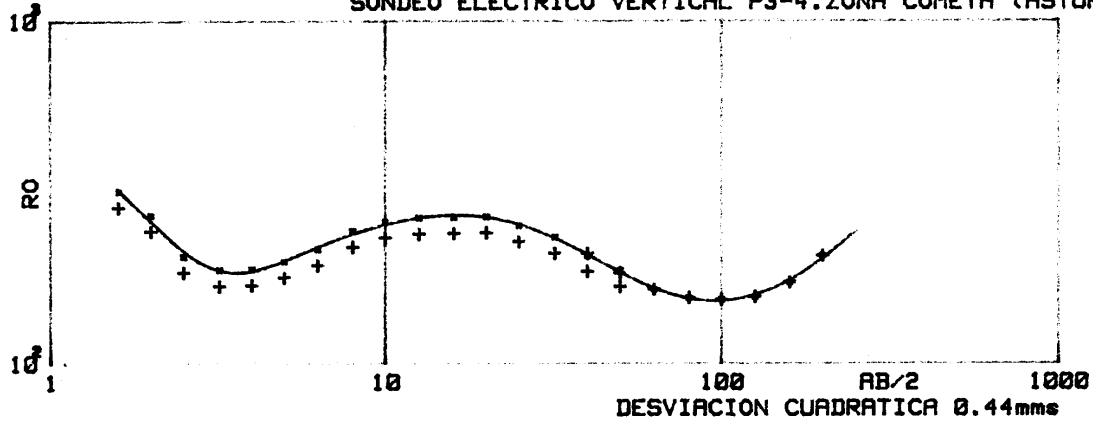
INTERPRETACION

CAPA	Ro	Z
1	334.8	1.1
2	21.8	1.9
3	72.1	91.5
4	INFINITO	

DESVIACION CUADRATICA 0.88mms



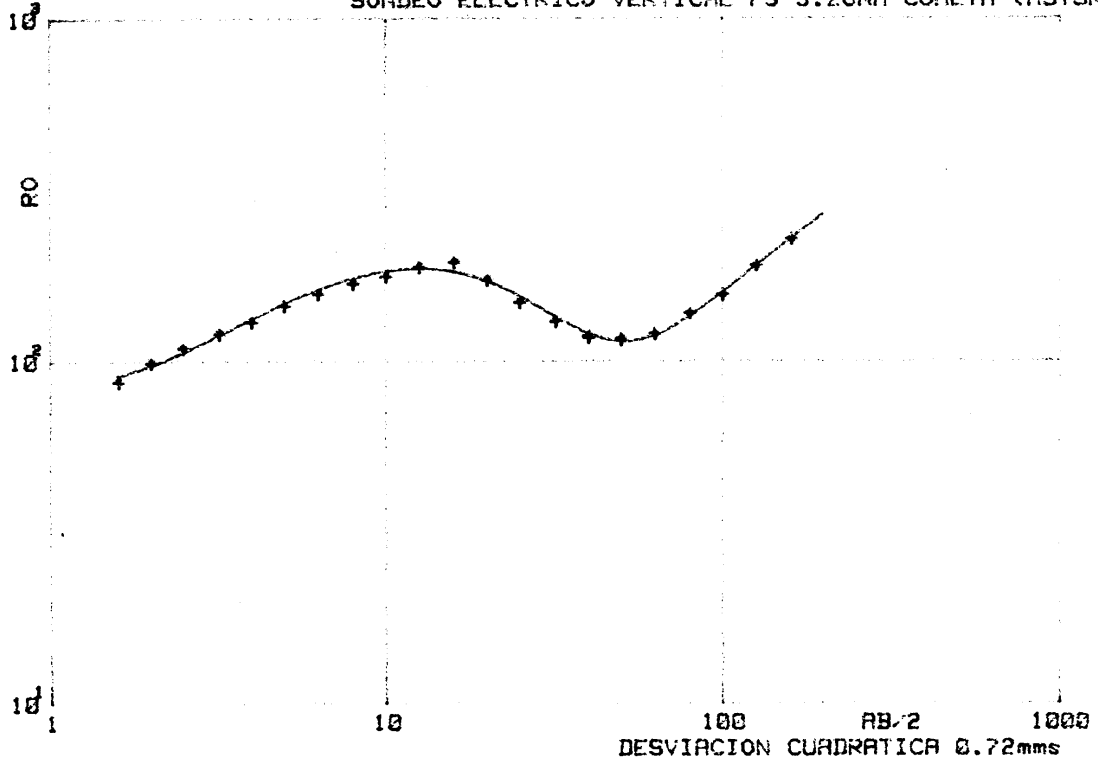
SONDEO ELECTRICO VERTICAL P3-4.ZONA COMEYA (ASTURIAS)



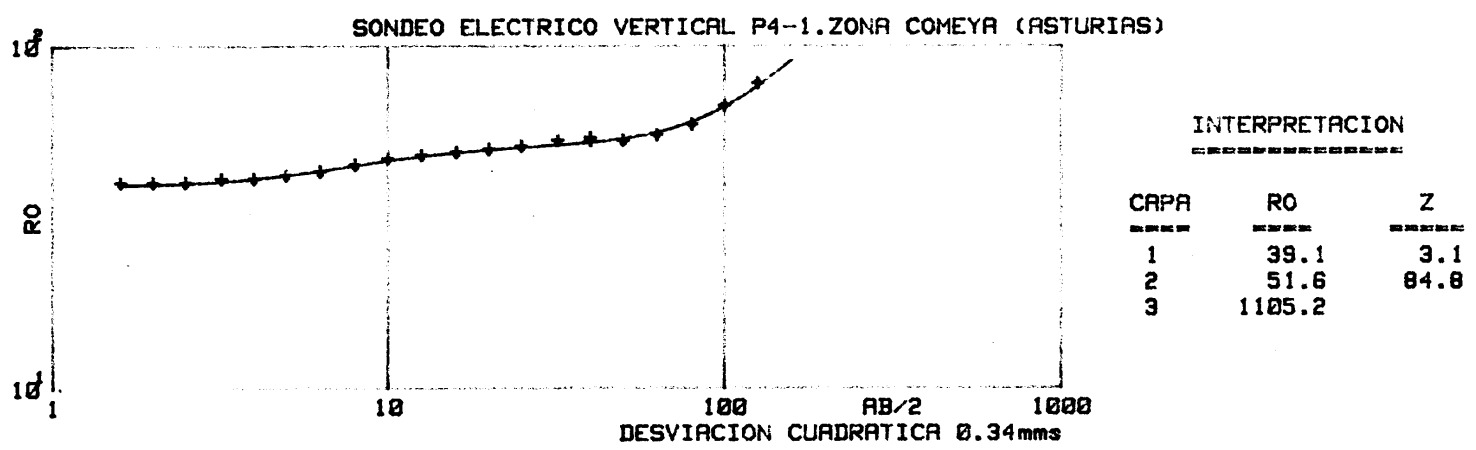
INTERPRETACION

CAPA	ρ_0	Z
1	522.4	0.9
2	20.6	1.1
3	341.5	13.6
4	128.2	141.8
5	INFINITO	

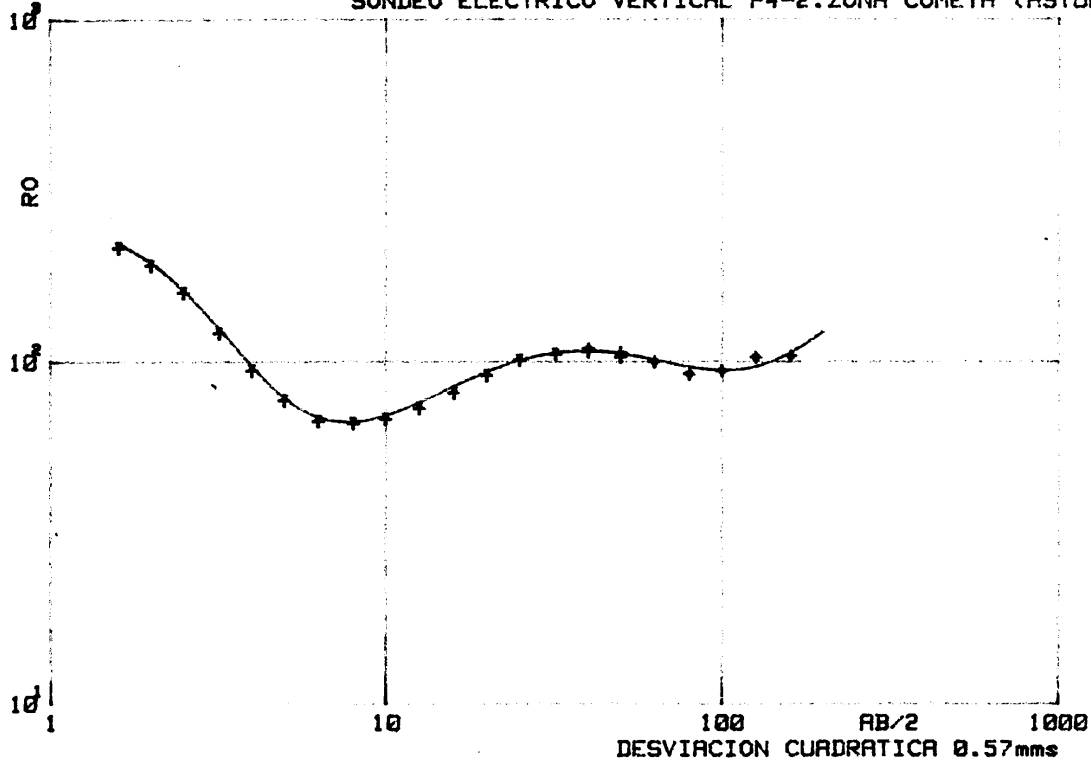
SONDEO ELECTRICO VERTICAL P3-5.ZONA COMEYA (ASTURIAS)



CAPA	R0	INTERPRETACION	
		PERIODOS	PERIODOS
1	81.0		1.5
2	253.3		10.5
3	66.1		42.1
4	798.6		



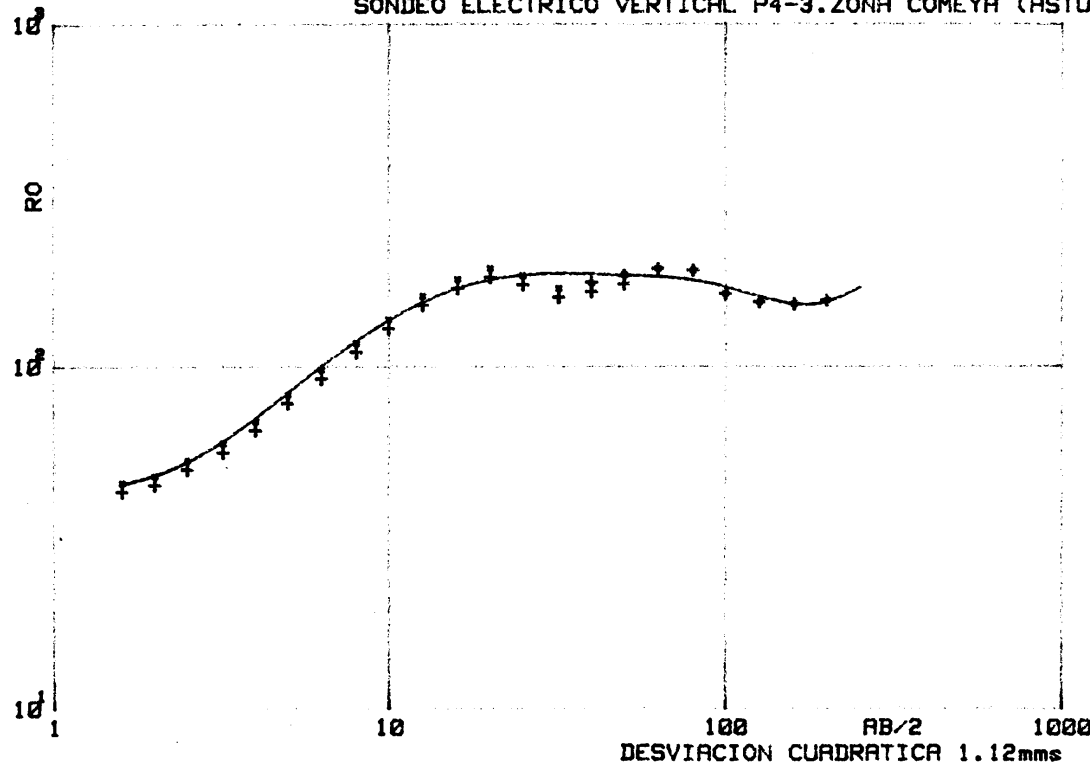
SONDEO ELECTRICO VERTICAL P4-2.ZONA COMEYA (ASTURIAS)



INTERPRETACION

CAPA	RO	Z
1	274.4	1.2
2	52.8	8.0
3	271.2	16.1
4	69.1	115.2
5	1597.8	

SONDEO ELECTRICO VERTICAL P4-3.ZONA COMEYA (ASTURIAS)

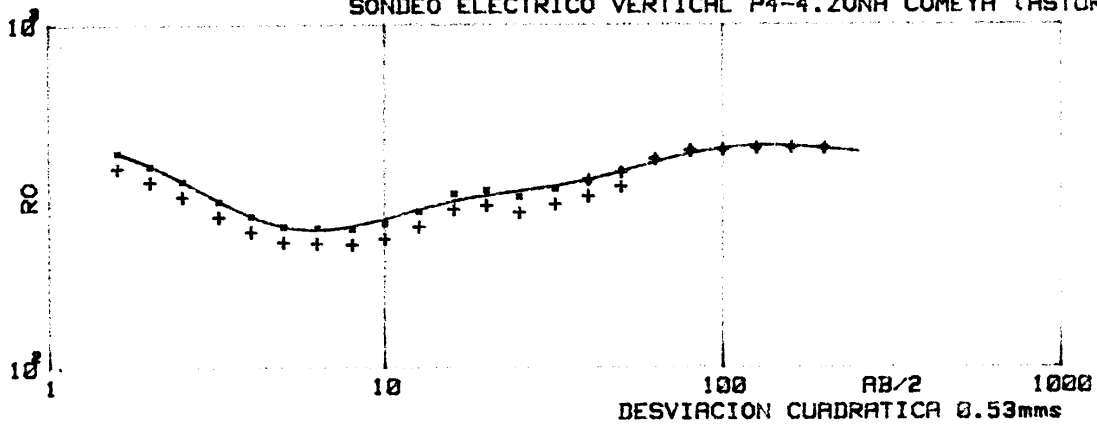


INTERPRETACION

CAPA	RO	Z
1	41.8	2.2
2	1528.8	4.1
3	38.0	9.2
4	822.4	21.0
5	27.1	55.9
6	2855.7	

AB/2 DESVIACION CUADRATICA 1.12mms

SONDEO ELECTRICO VERTICAL P4-4.ZONA COMEYA (ASTURIAS)

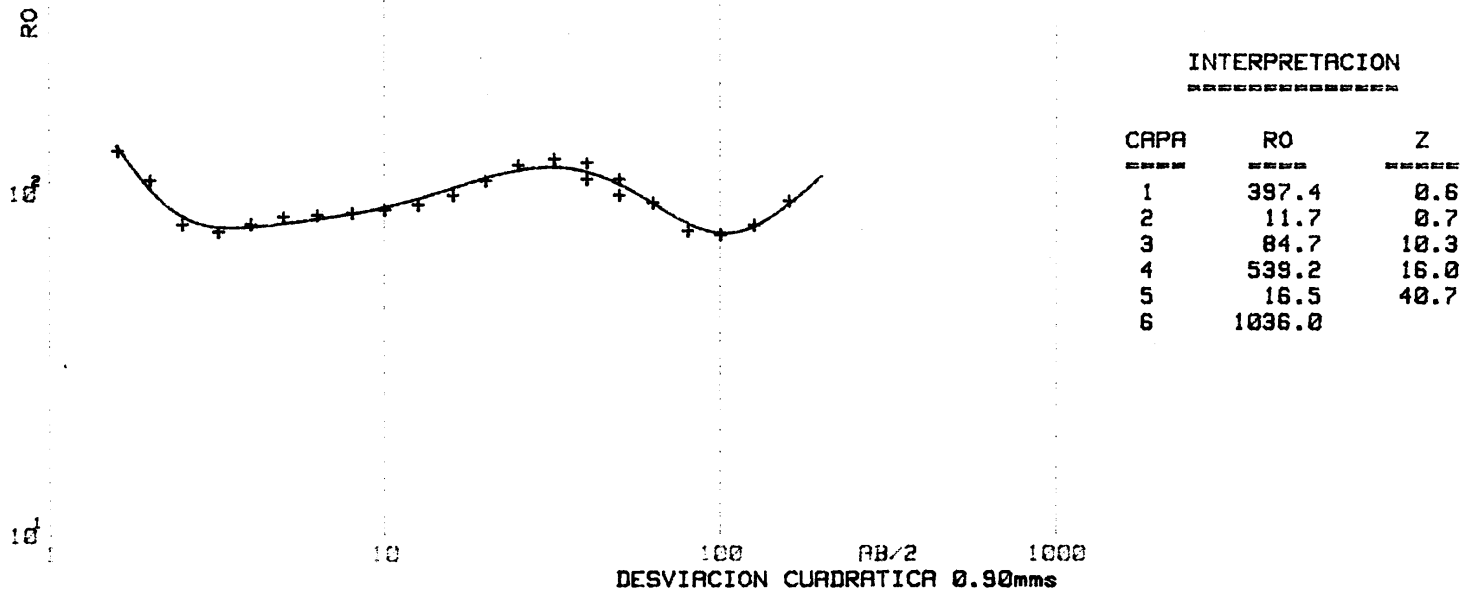


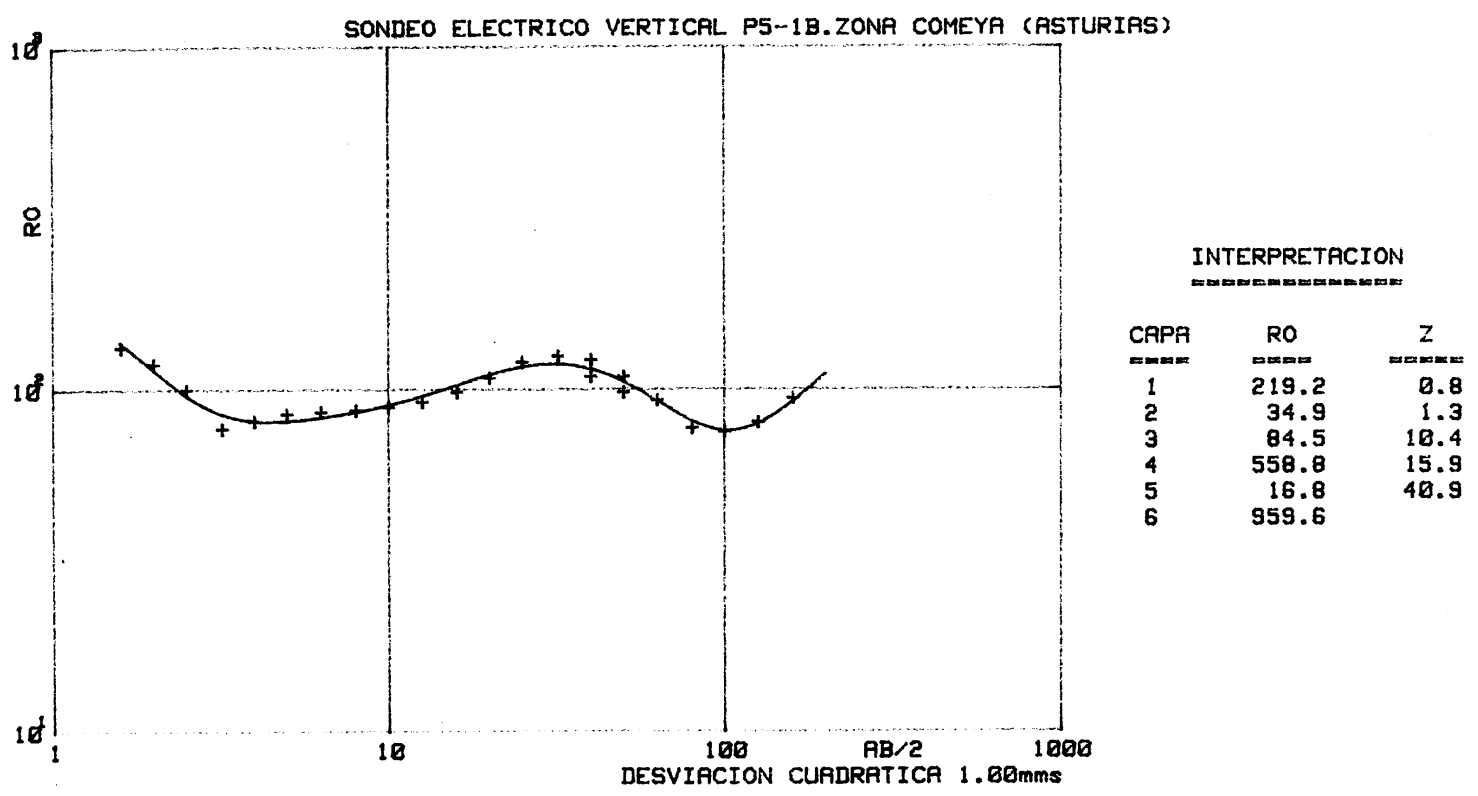
INTERPRETACION

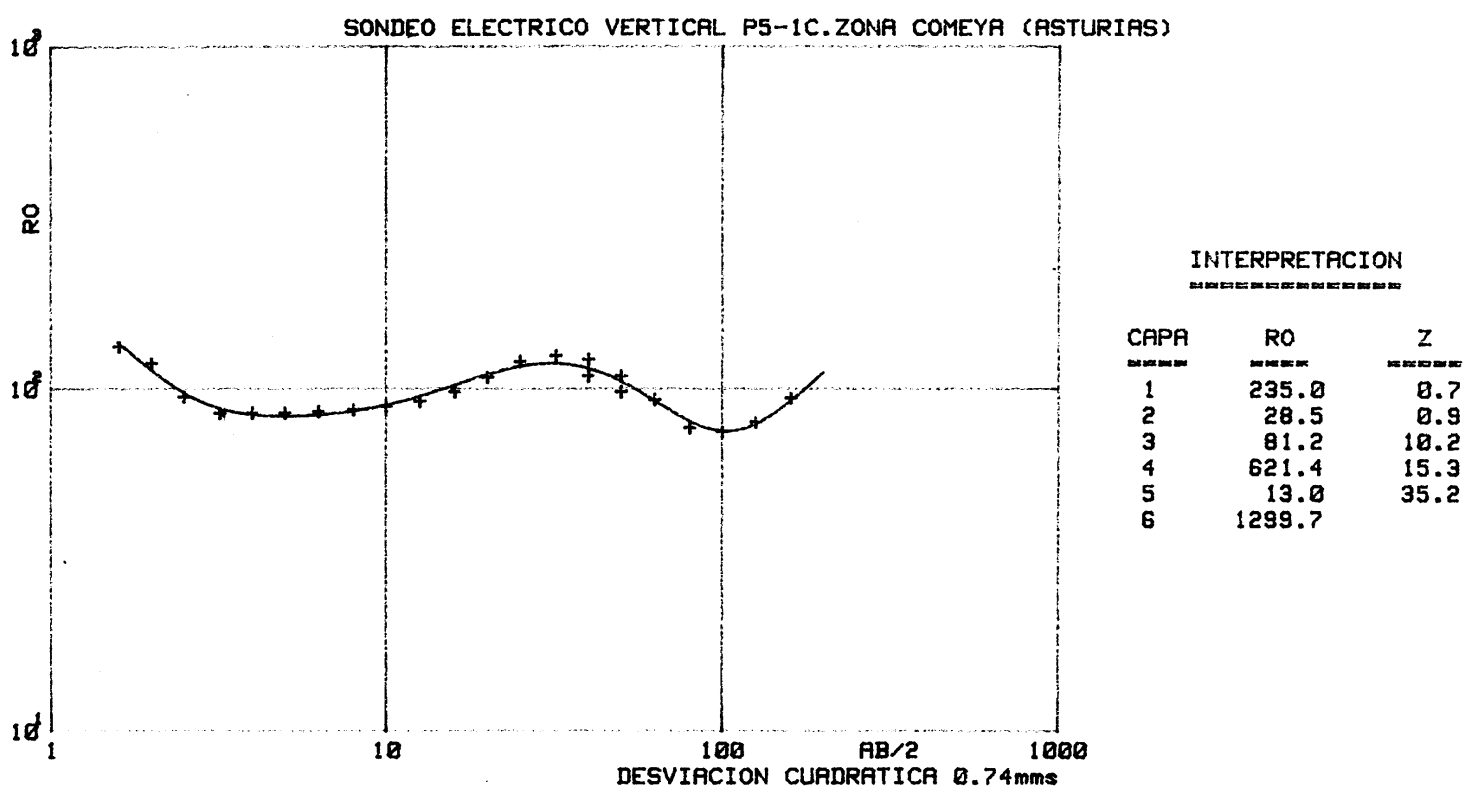
CAPR	RO	Z
1	493.2	1.1
2	204.8	6.0
3	914.1	8.5
4	225.9	21.6
5	750.6	46.1
6	391.9	

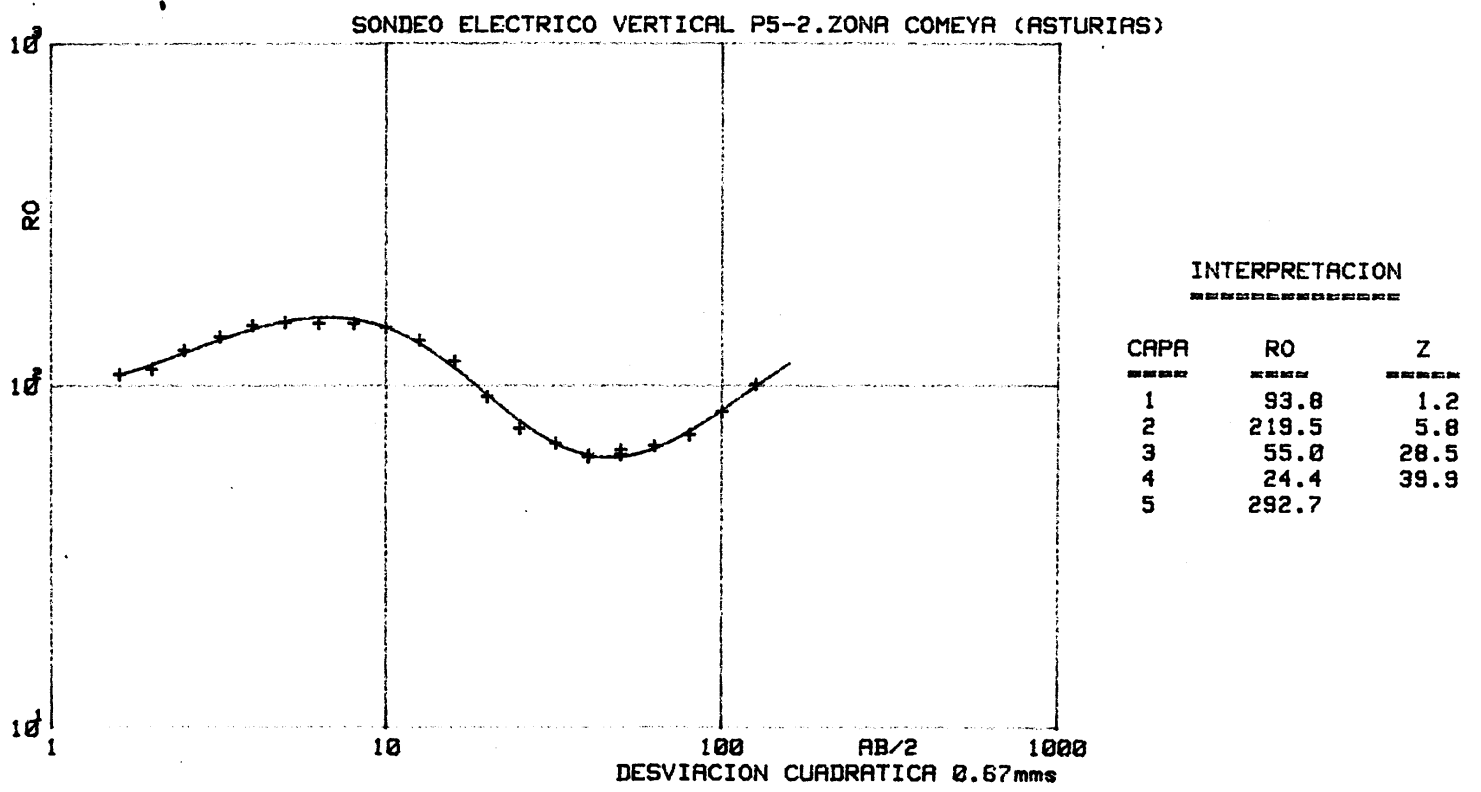
DESVIACION CUADRATICA 0.53mm's

SONDEO ELECTRICO VERTICAL P5-1A.ZONA COMEYA (ASTURIAS)

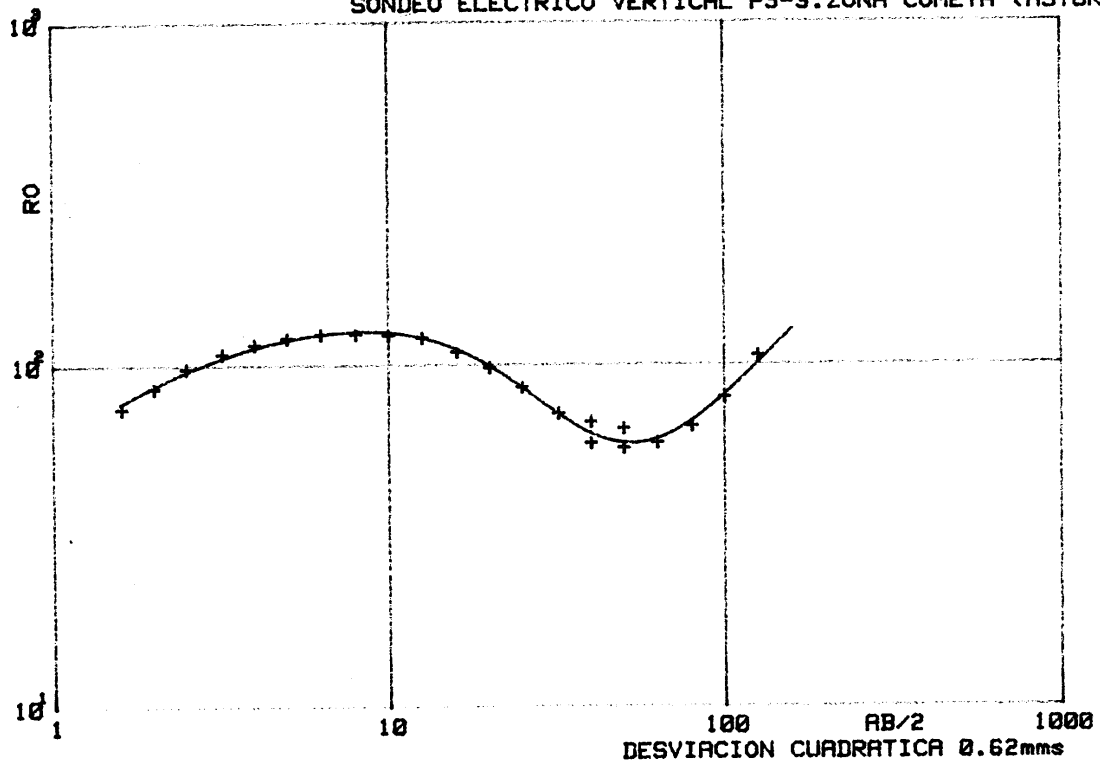








SONDEO ELECTRICO VERTICAL P5-3.ZONA COMEYA (ASTURIAS)



INTERPRETACION

CAPA	ρ	Z
1	29.7	0.3
2	142.4	10.0
3	41.4	58.6
4	INFINITO	

DESVIACION CUADRATICA 0.62mms